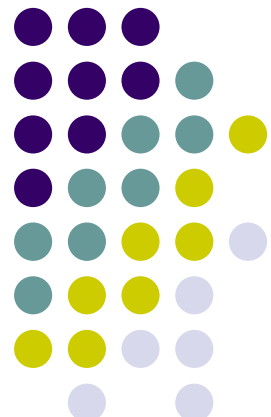


3層GEMチャンバー ゲイン特性測定

2006年 1月27日

内田智久 KEK 測定器開発室

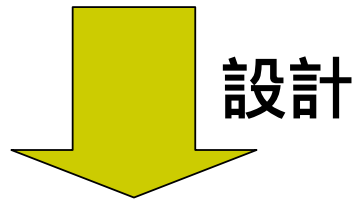
池野正弘、宇野彰二、氏家宣彦、関本美智子、
田中秀治、田中真伸、仲吉一男、村上武(KEK)
門松宏治、杉山晃、山本拓也(佐賀大)
中野英一(大阪市大)





Introduction

GEMを使用して
2次元読み出し検出器
中性子、X線検出器



ゲイン特性の理解が必要
例えば、欲しいゲインで動作させる為のパラメータとは？



Outline

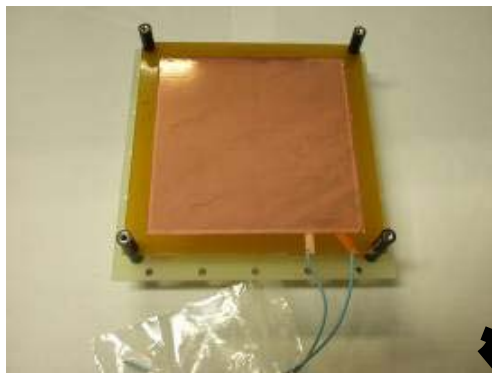
3層GEMチャンバーのゲイン特性測定

- テスト装置
- ゲイン特性
- 読み出しパッドとGEM foilからの信号
- 電子ドリフト時間と信号パルス幅
- まとめ

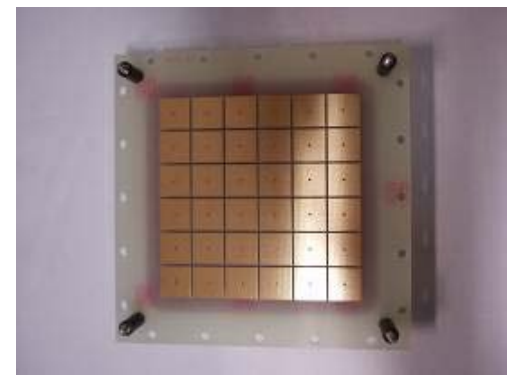
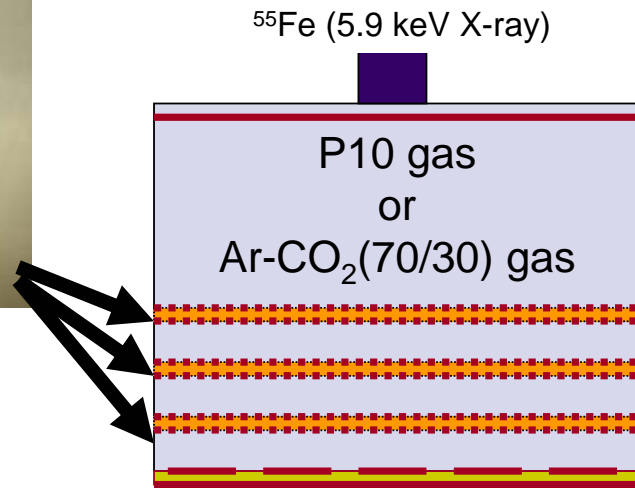


Test chamber

Triple GEM detector



GEM
10 cm × 10 cm



Readout pads
15mm × 15mm
36個 = 6行 × 6列

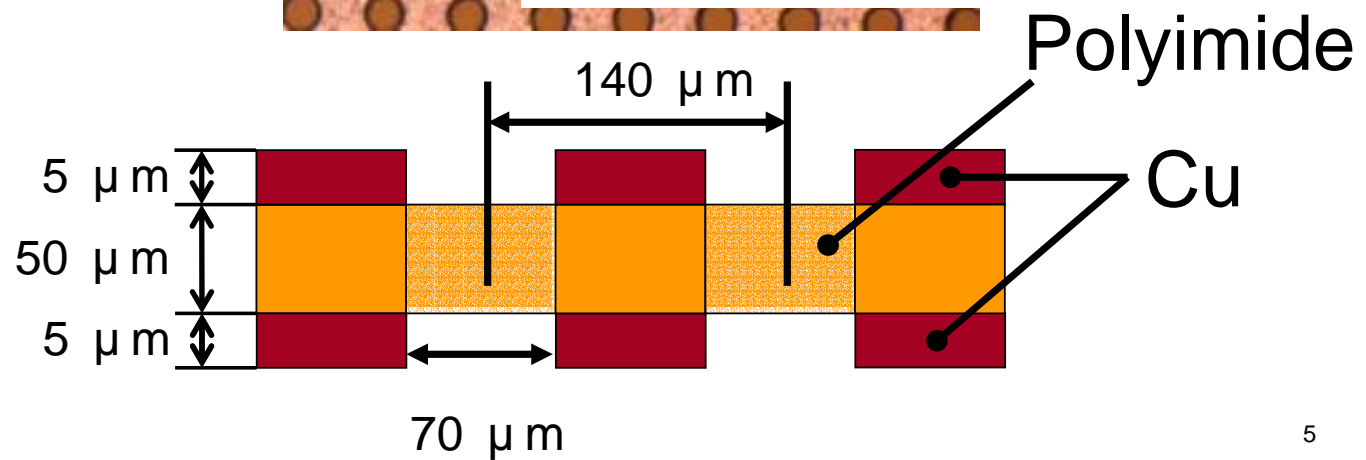


GEM foil

サイエナジー社製

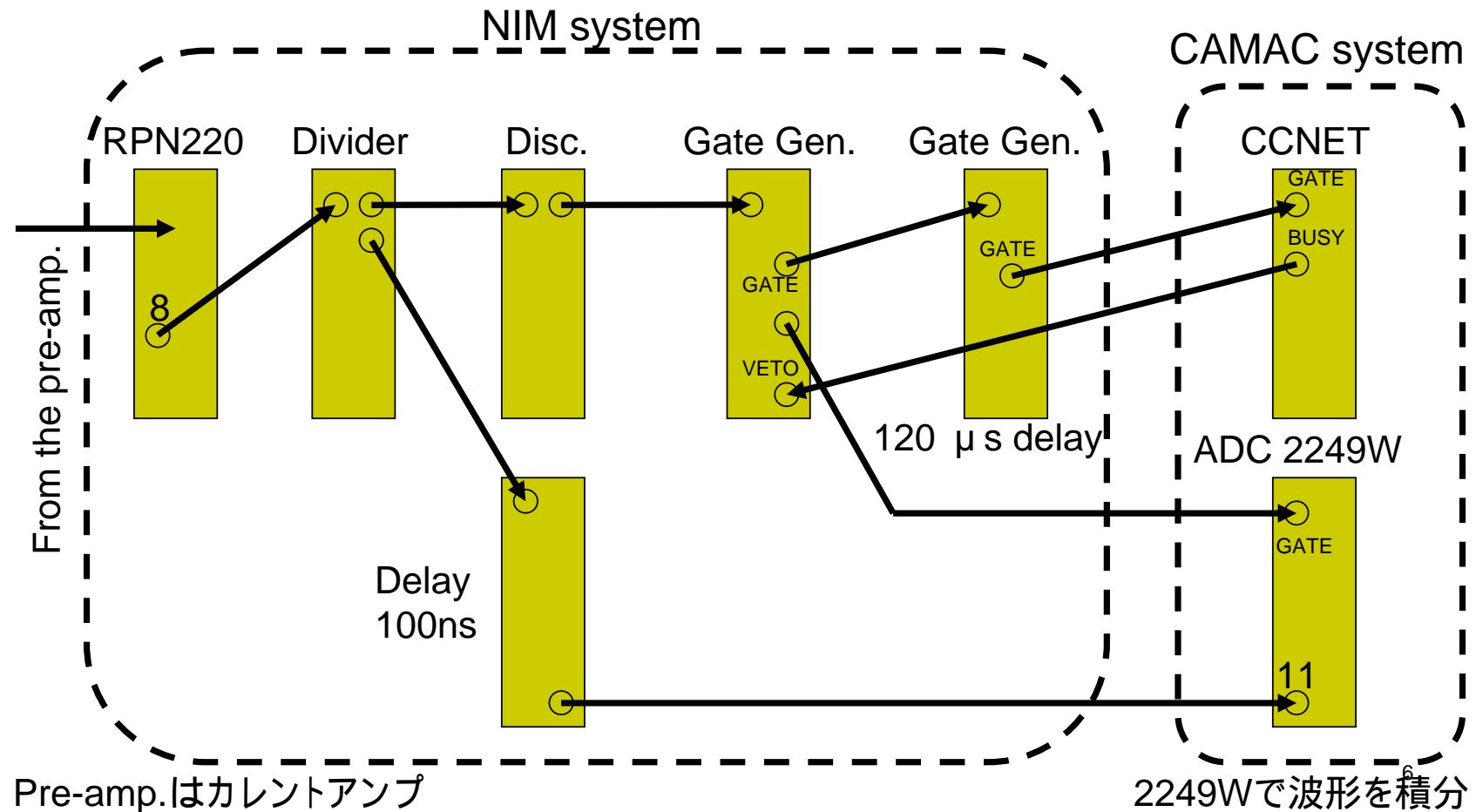


穴間隔 = 140 μm



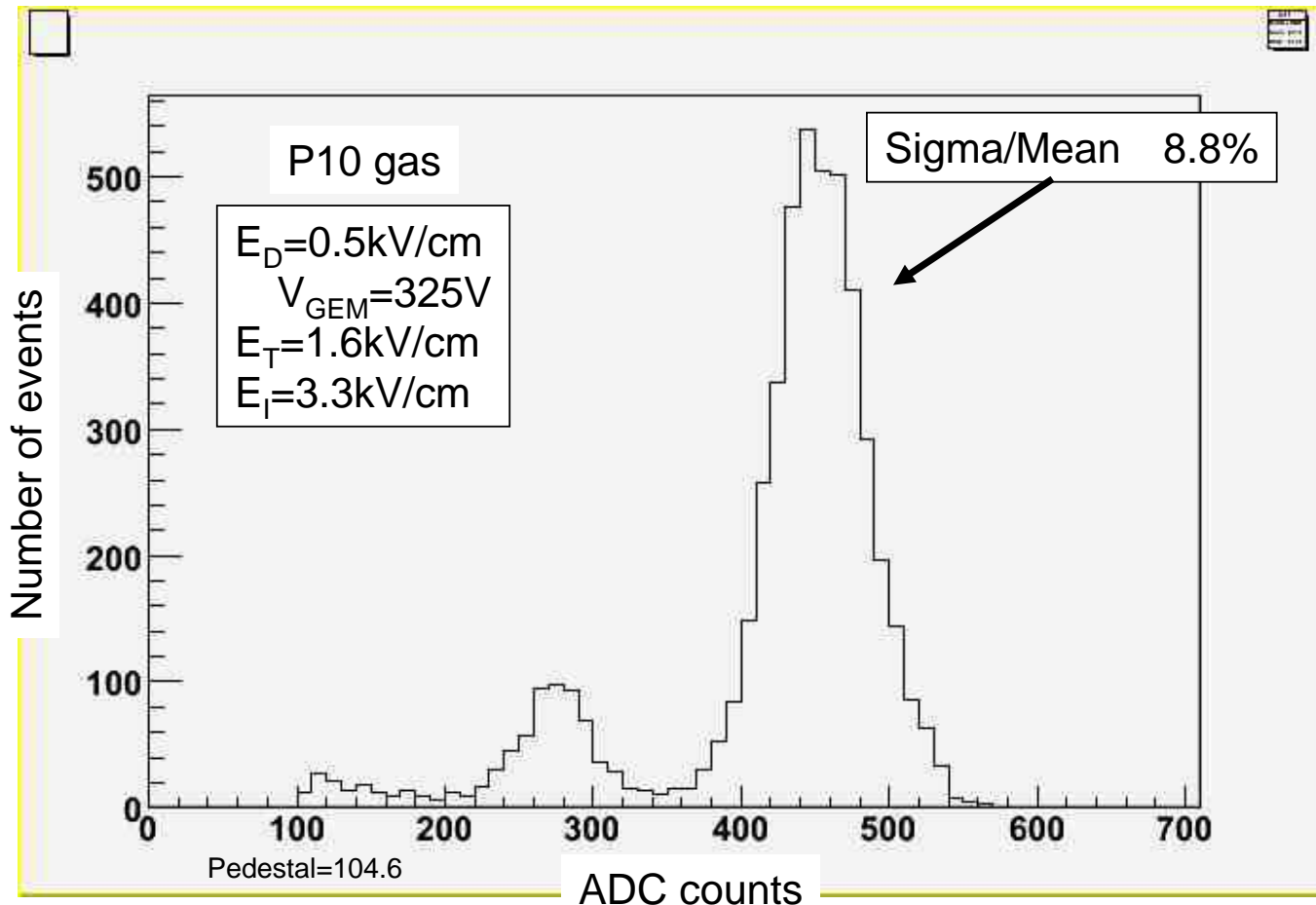


システム構成



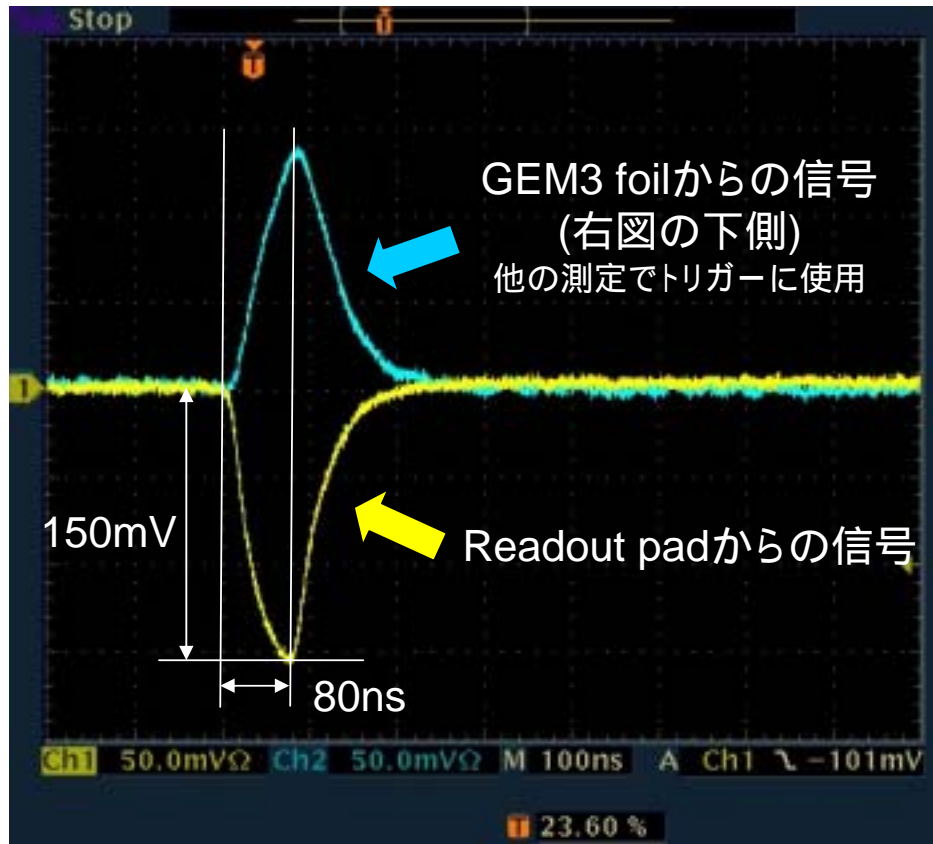


A sample of spectrum

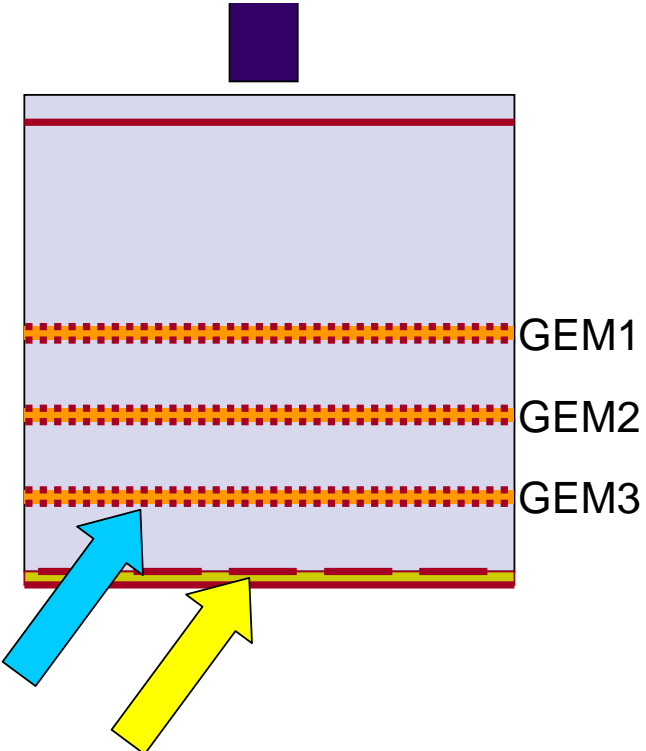




Pulse shape



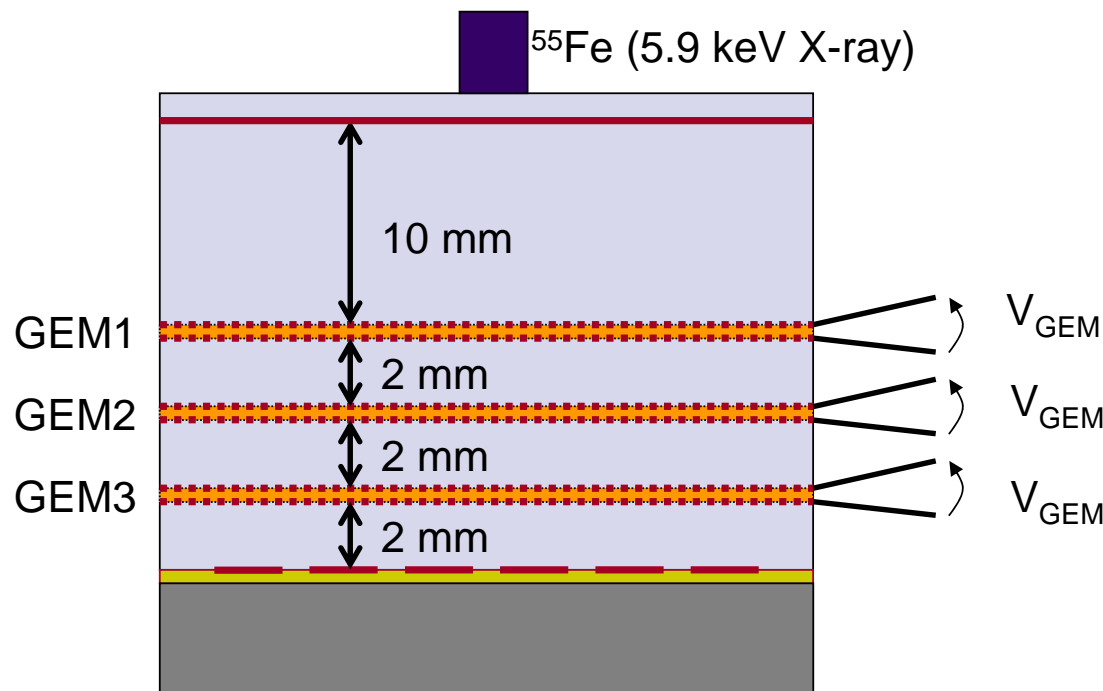
^{55}Fe (5.9 keV X-ray)



ゲイン特性 V_{GEM} dependence

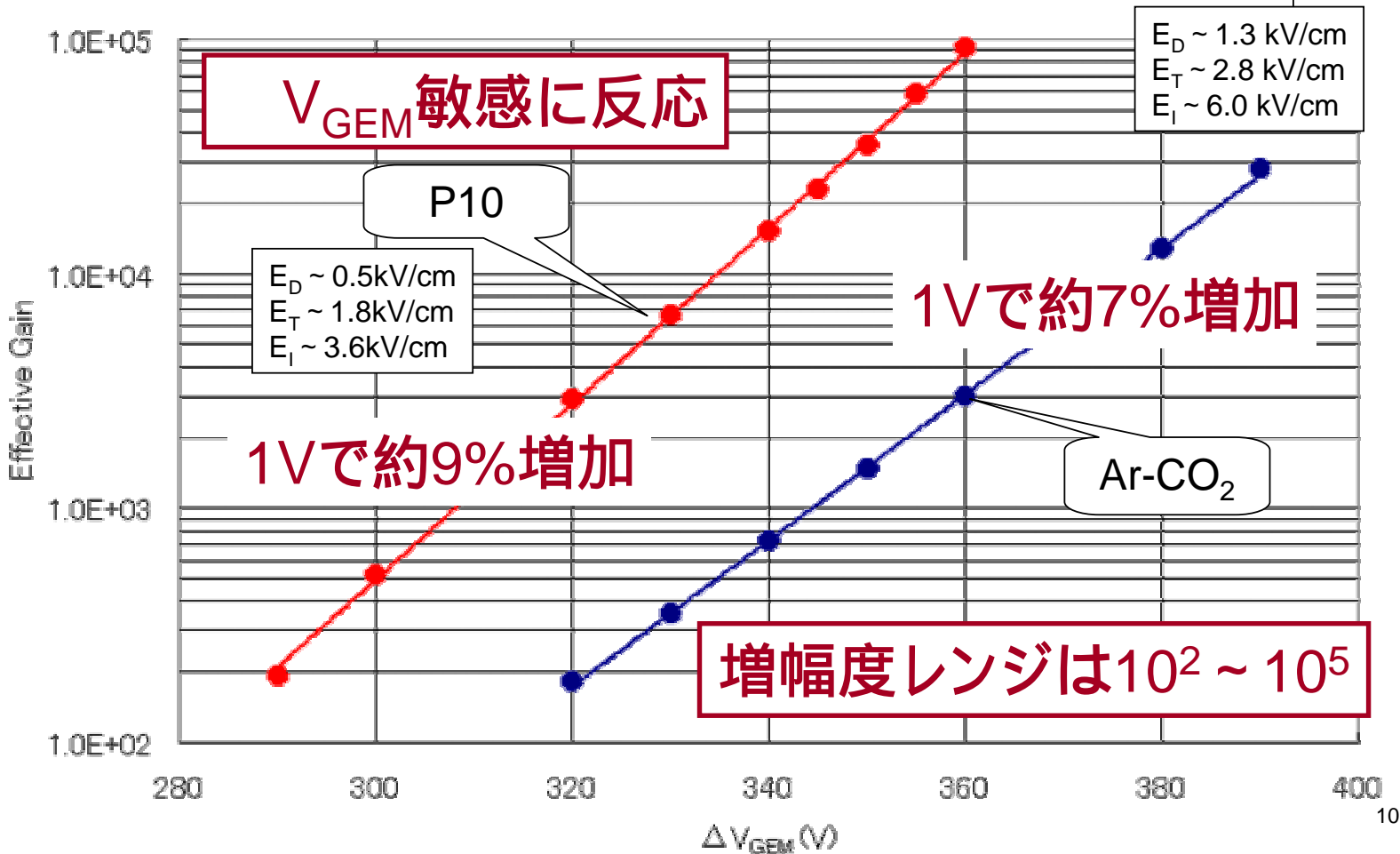


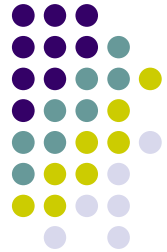
3枚のGEM両面間の電圧を変化させて測定





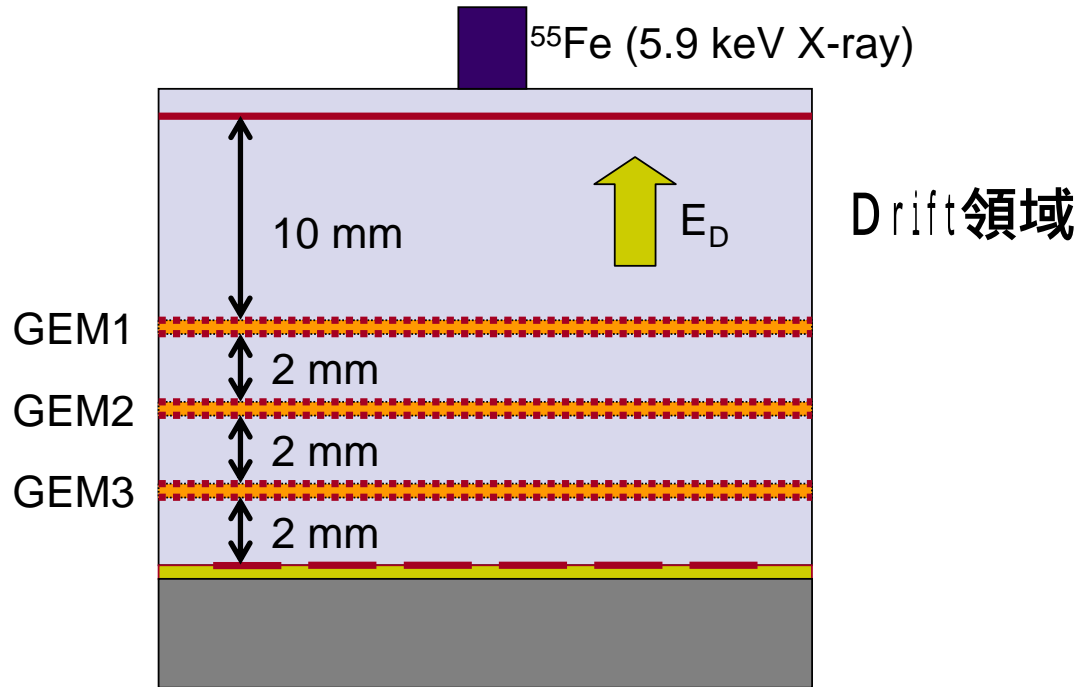
V_{GEM} dependence





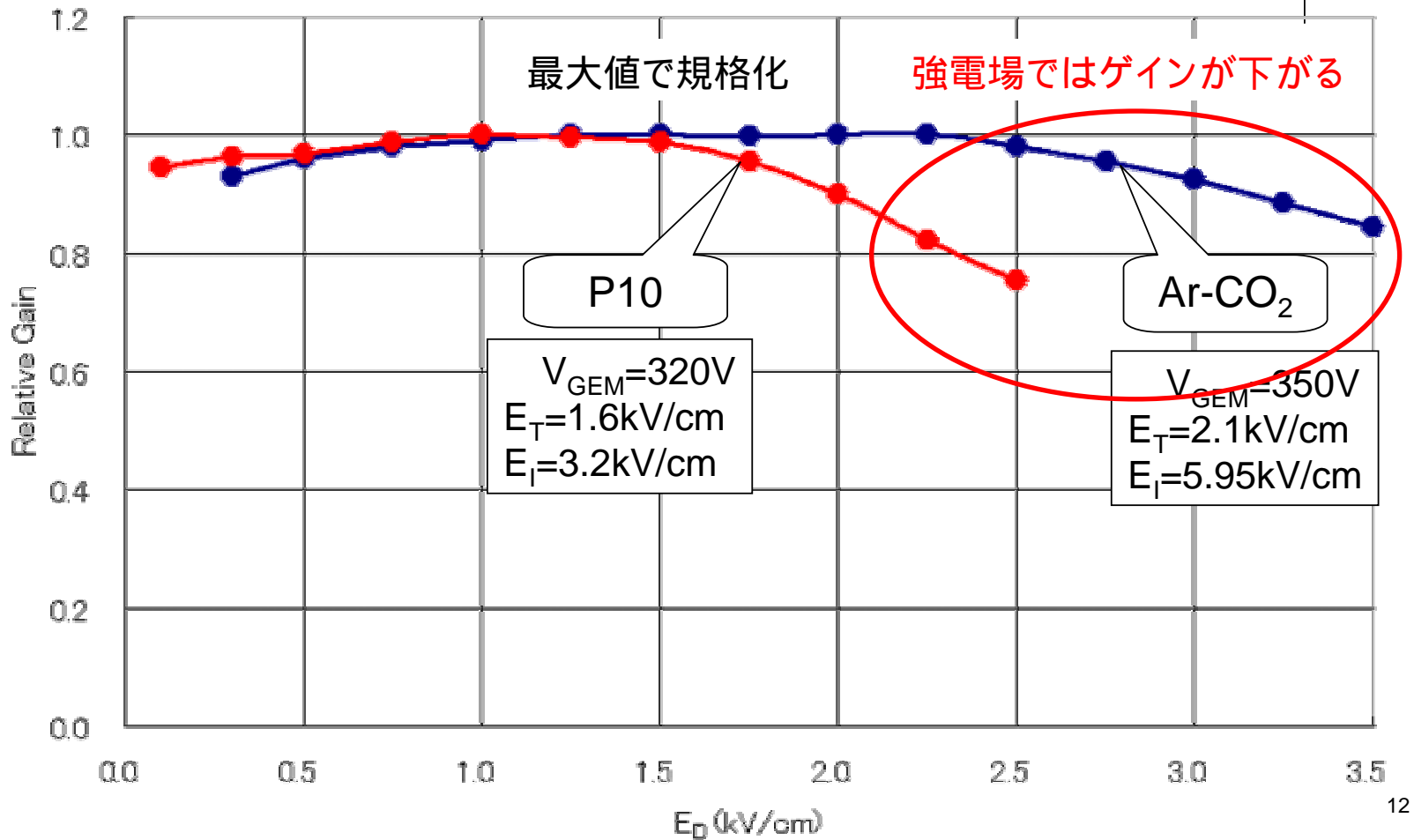
E_D dependence

Drift領域の電場を変化させてゲインを測定





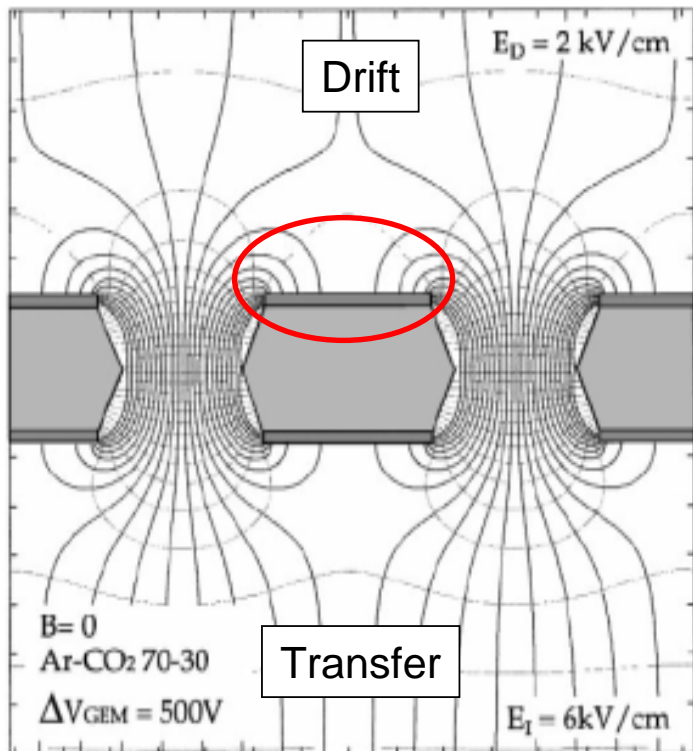
E_D dependence



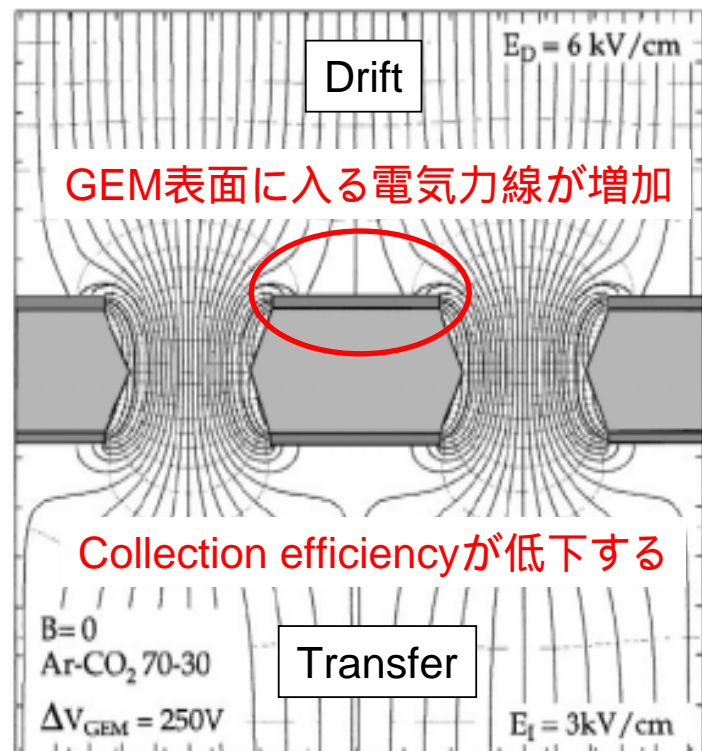
E_D dependence Electric field map



Drift電場が弱い場合

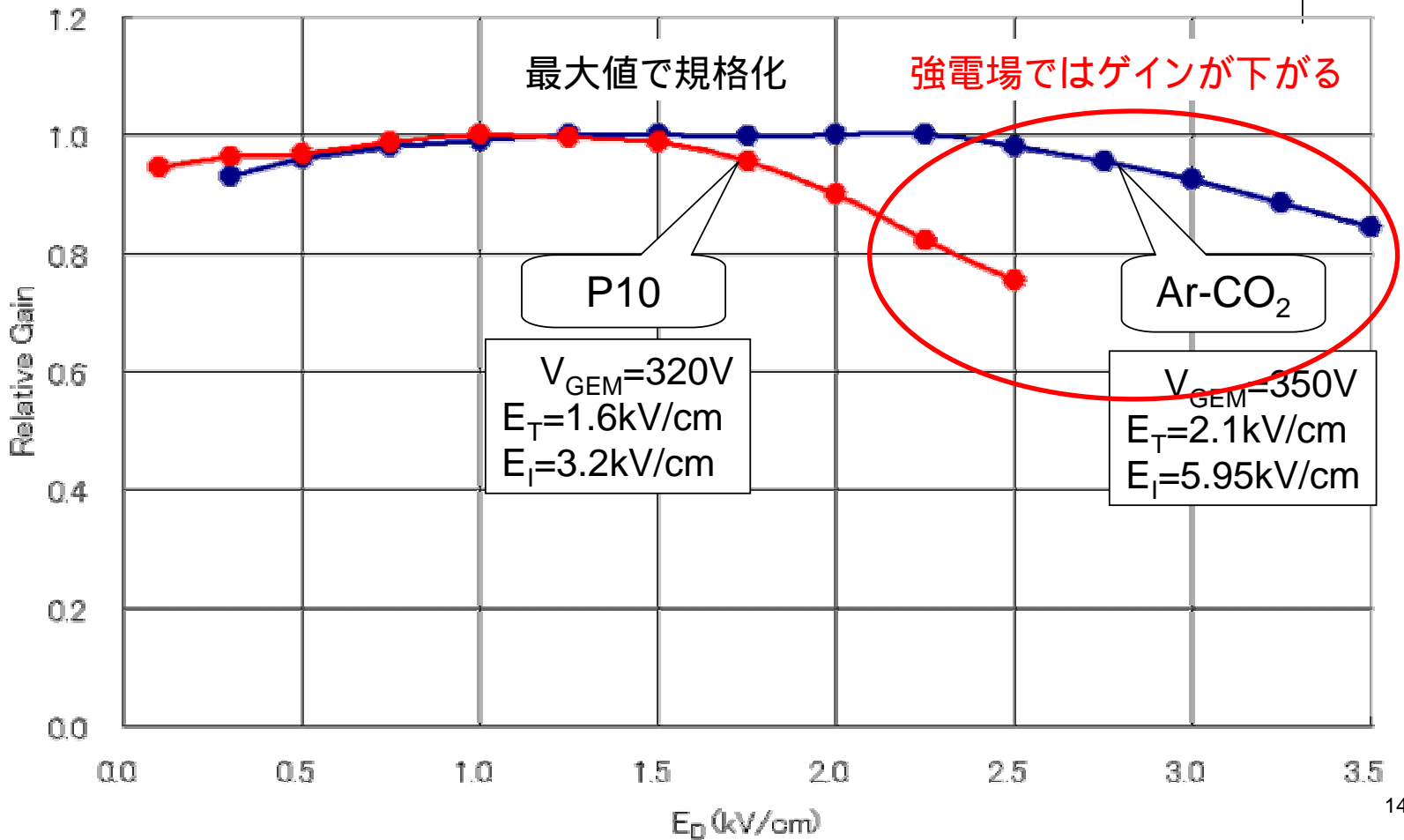


Drift電場が強い場合





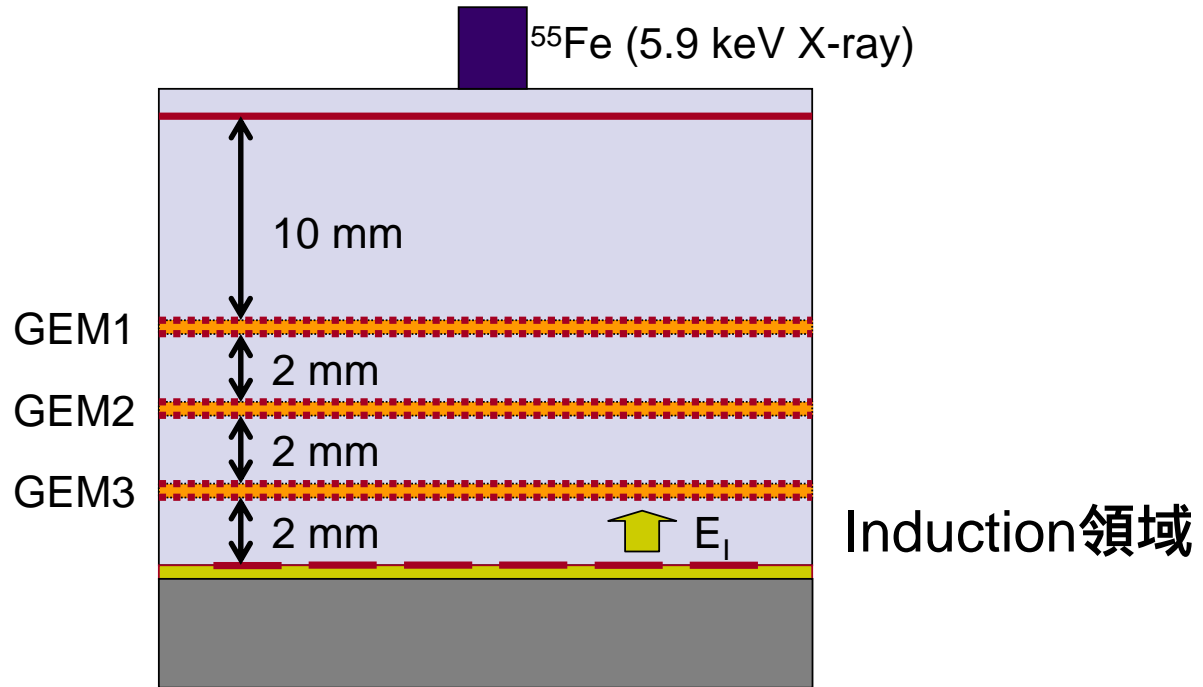
E_D dependence





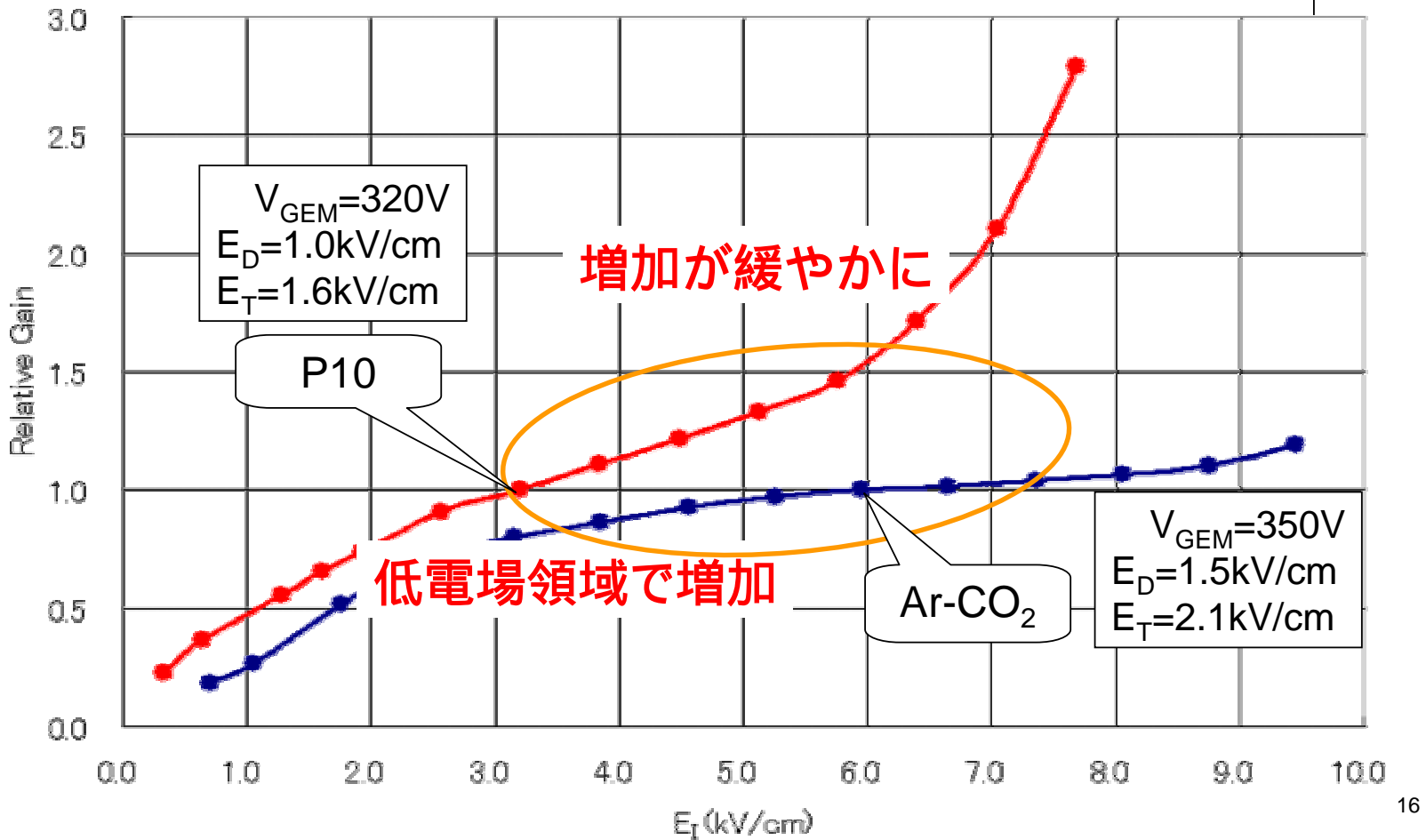
E_i dependence

Induction領域の電場を変化させてゲインを測定





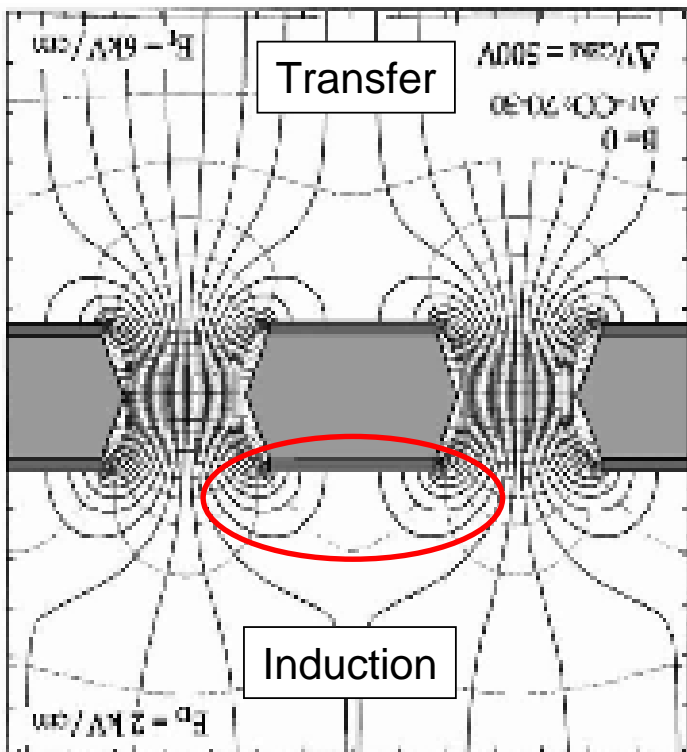
E_I dependence



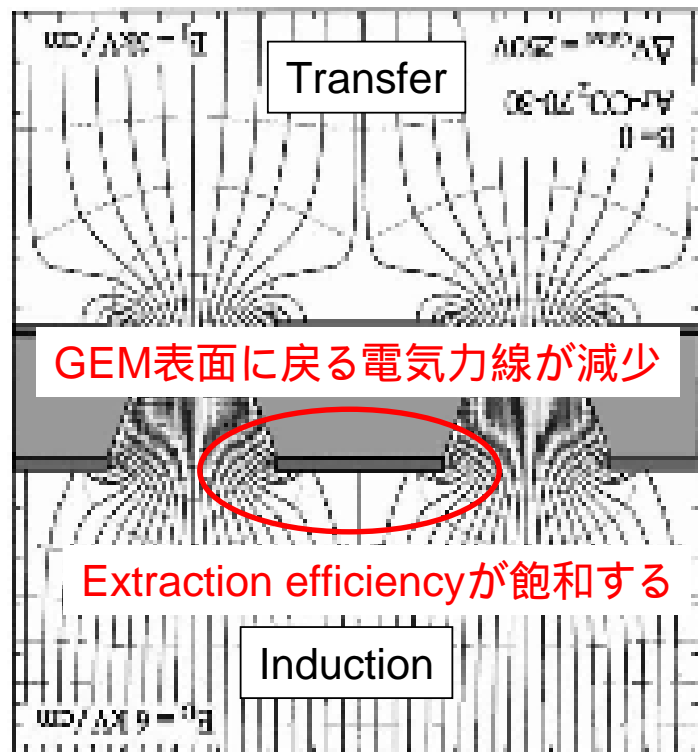
E_i dependence Electric field map



Induction電場が弱い場合

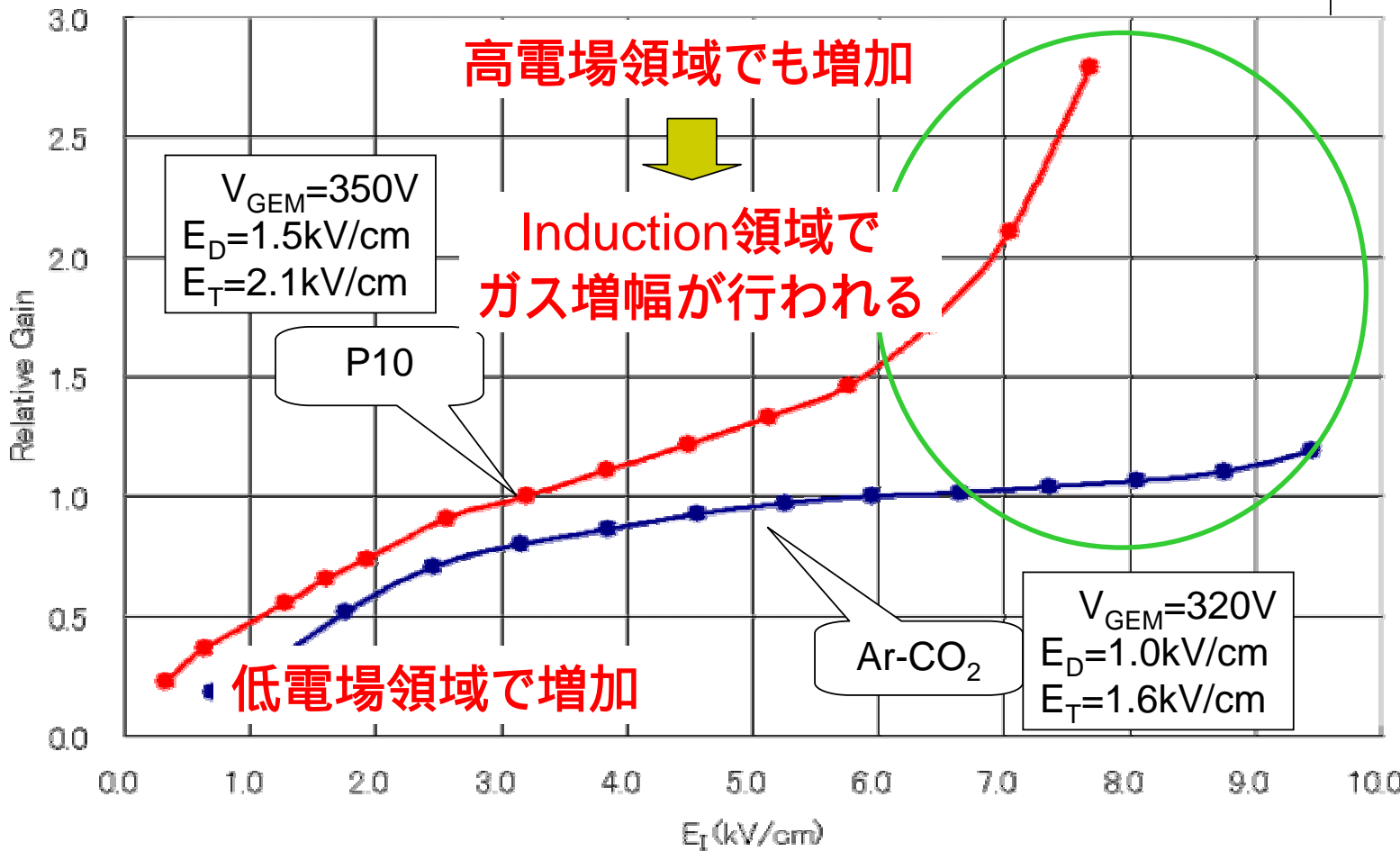


Induction電場が強い場合





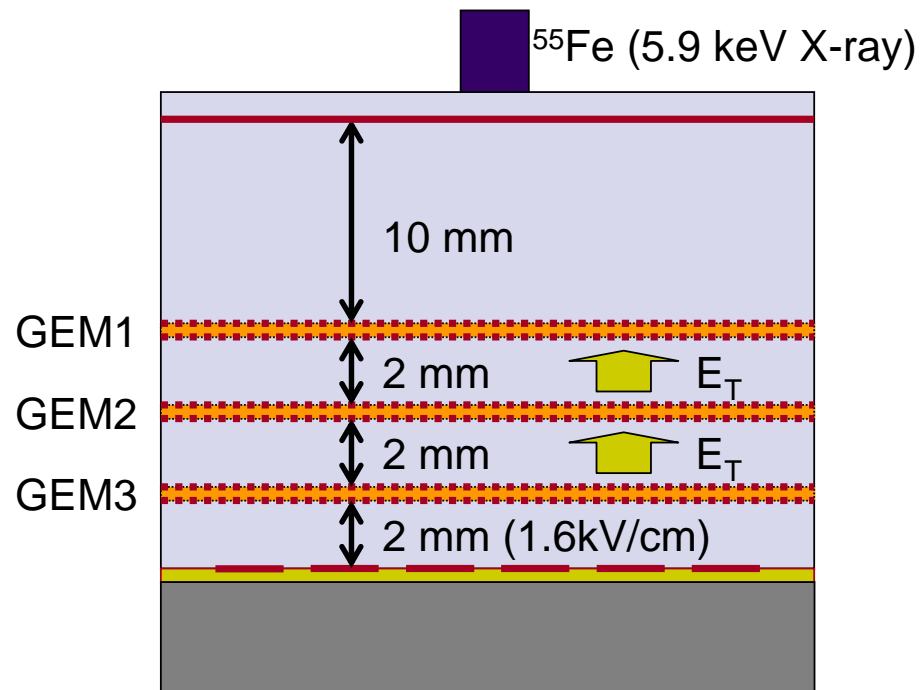
E_I dependence





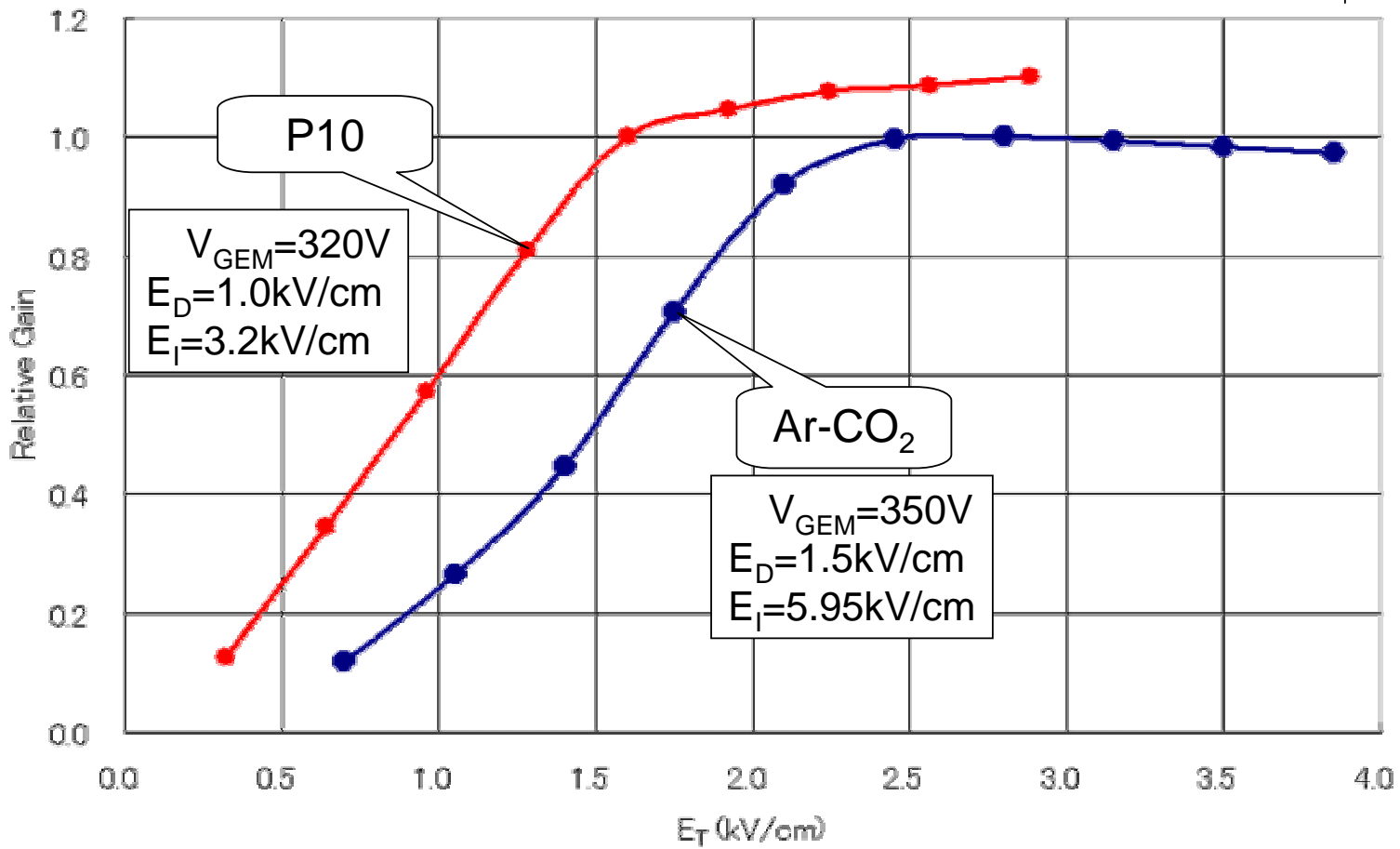
E_T dependence

Transfer領域の電場を変化させてゲインを測定



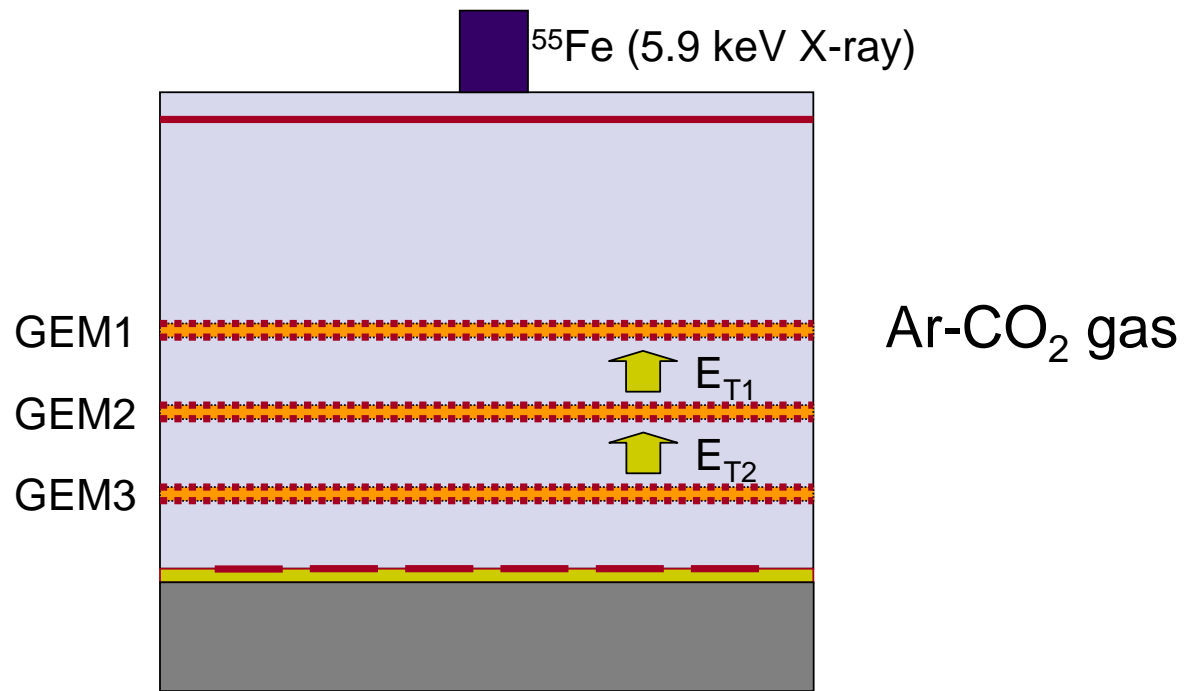


E_T dependence



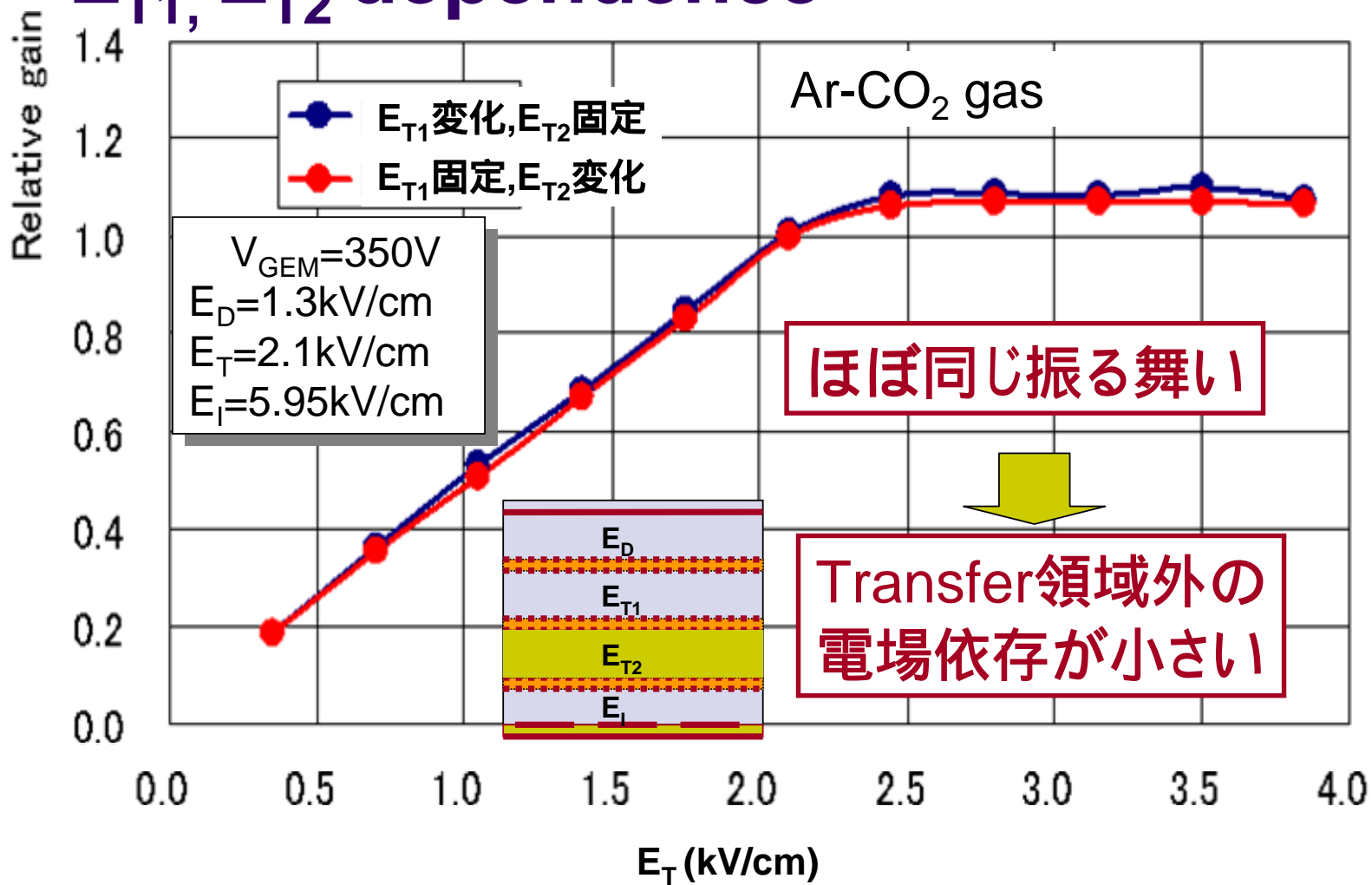


E_{T1}, E_{T2} 独立測定



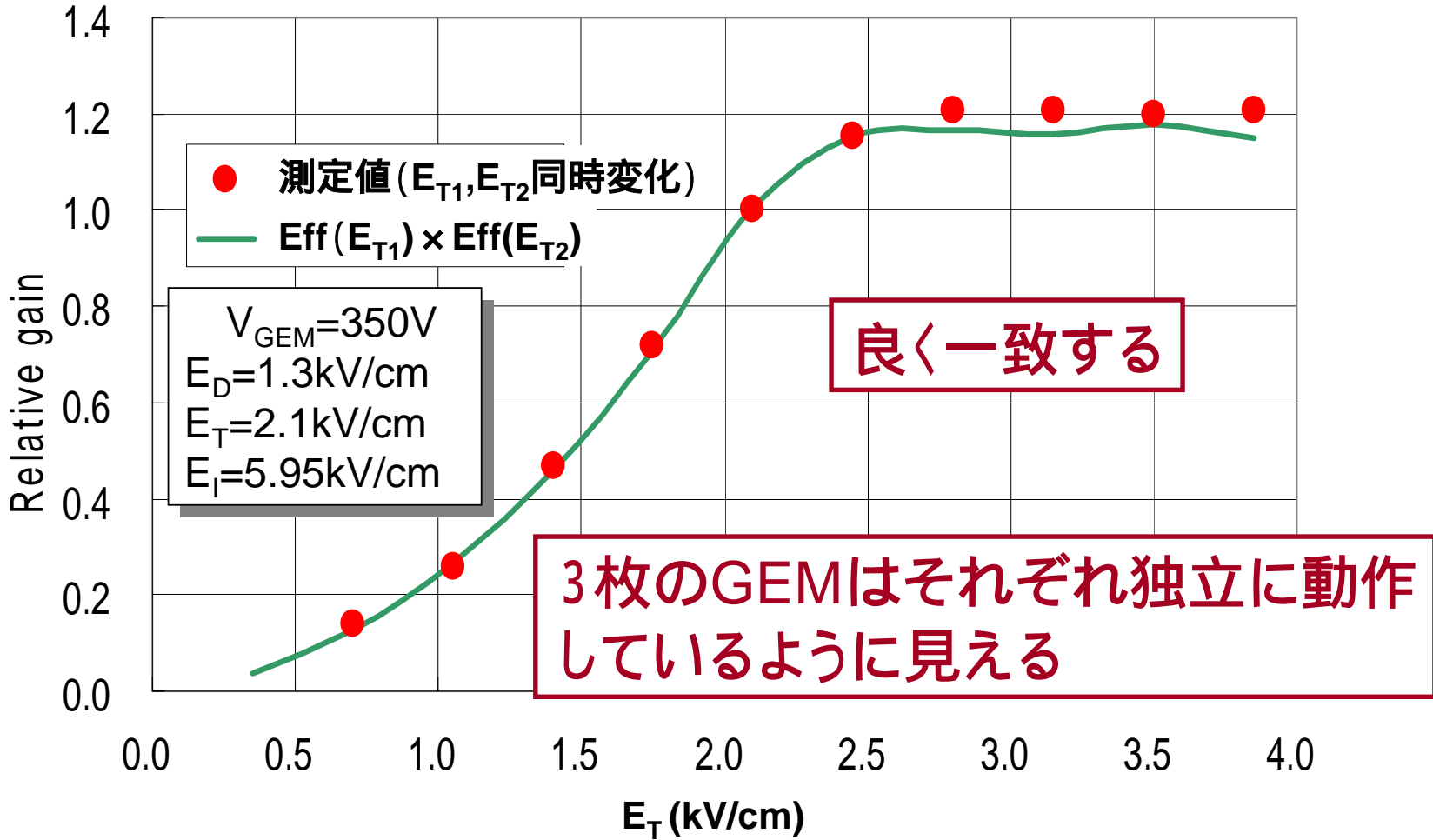


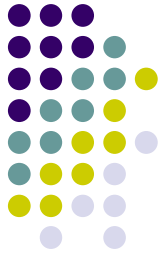
E_{T1}, E_{T2} dependence





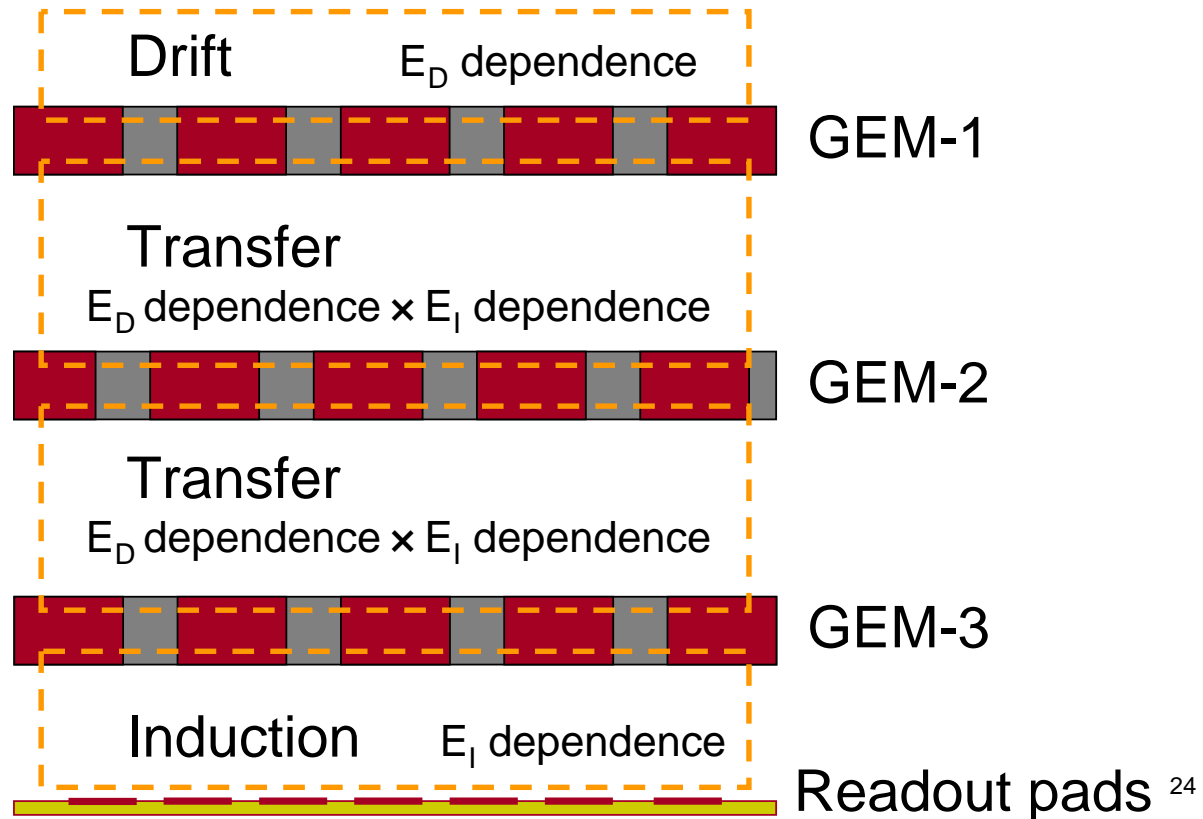
E_{T1}, E_{T2} dependence





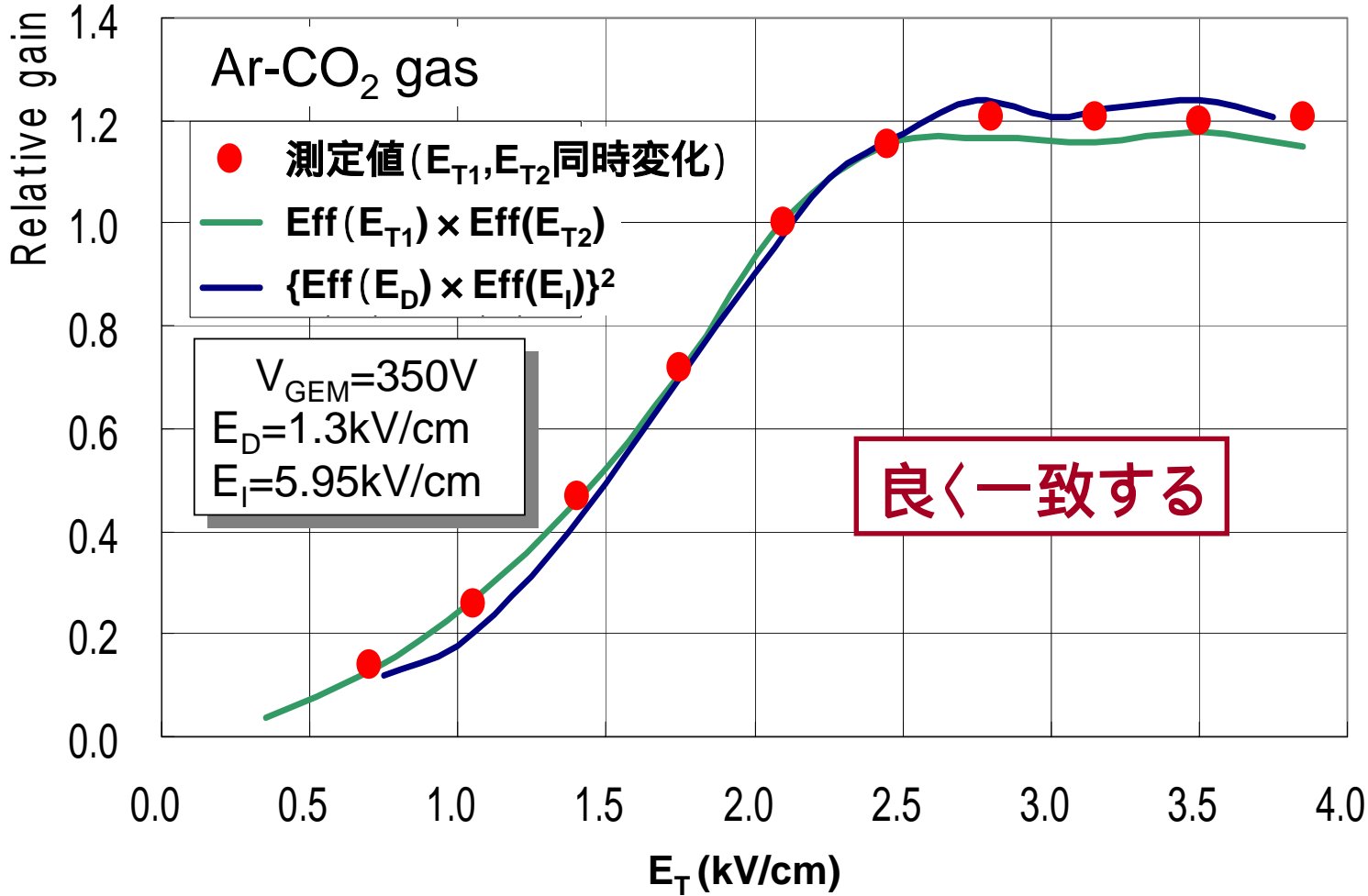
E_T dependence

Drift領域とInduction領域双方の特徴を持っているのではないか。



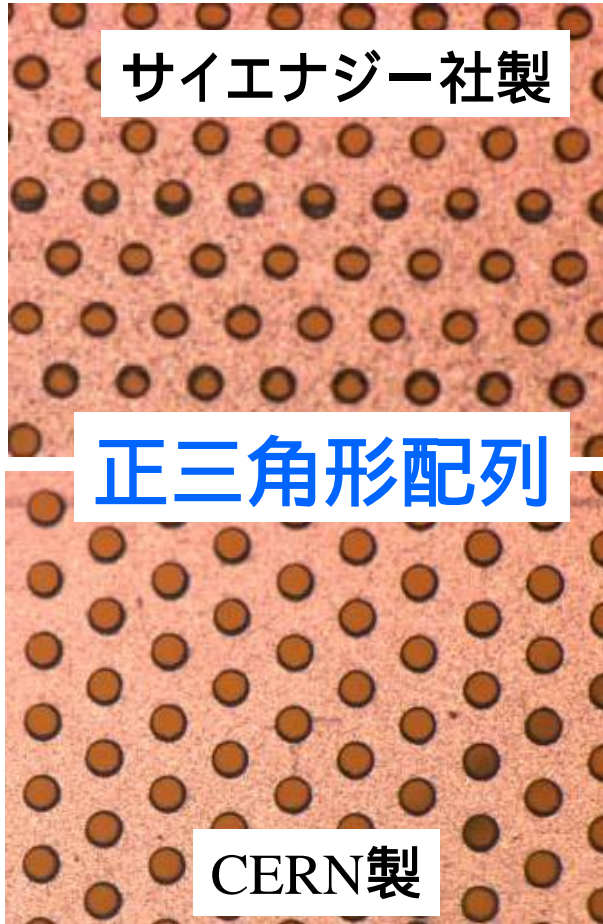
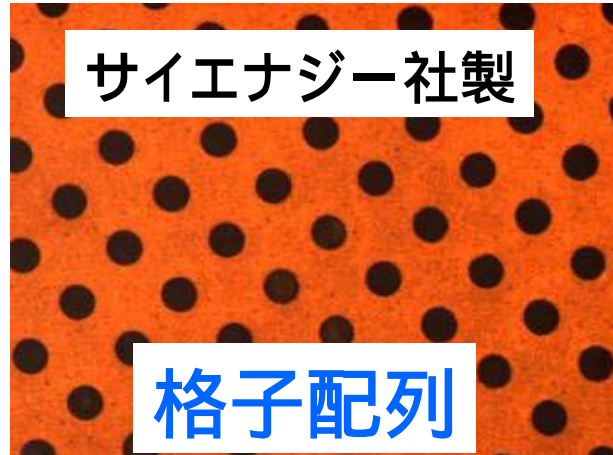


E_T dependence

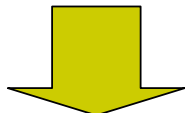




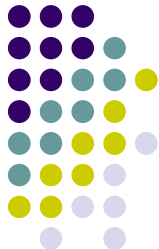
格子配列GEM



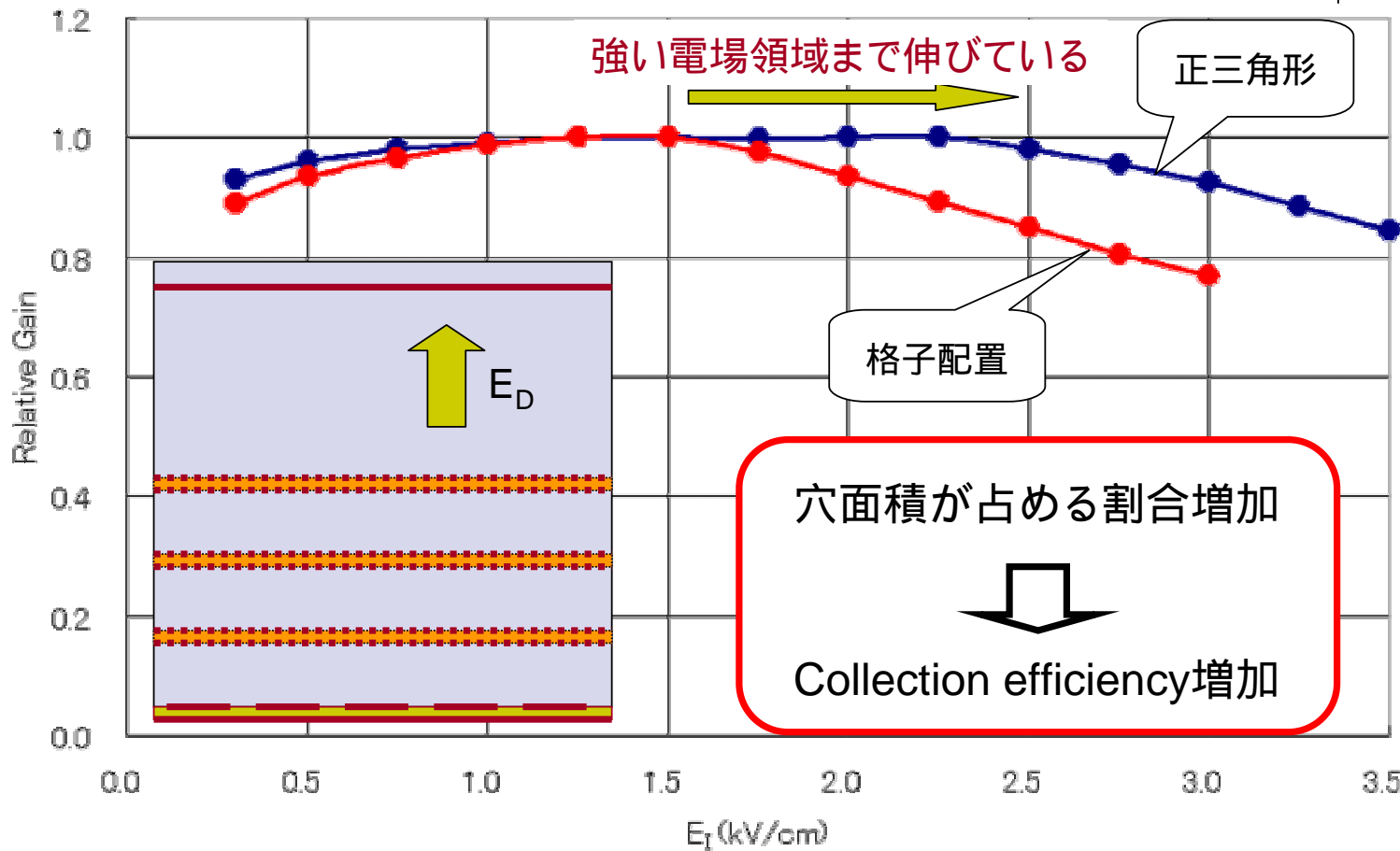
穴の占める面積が約13%減る



どの様な影響があるのか？

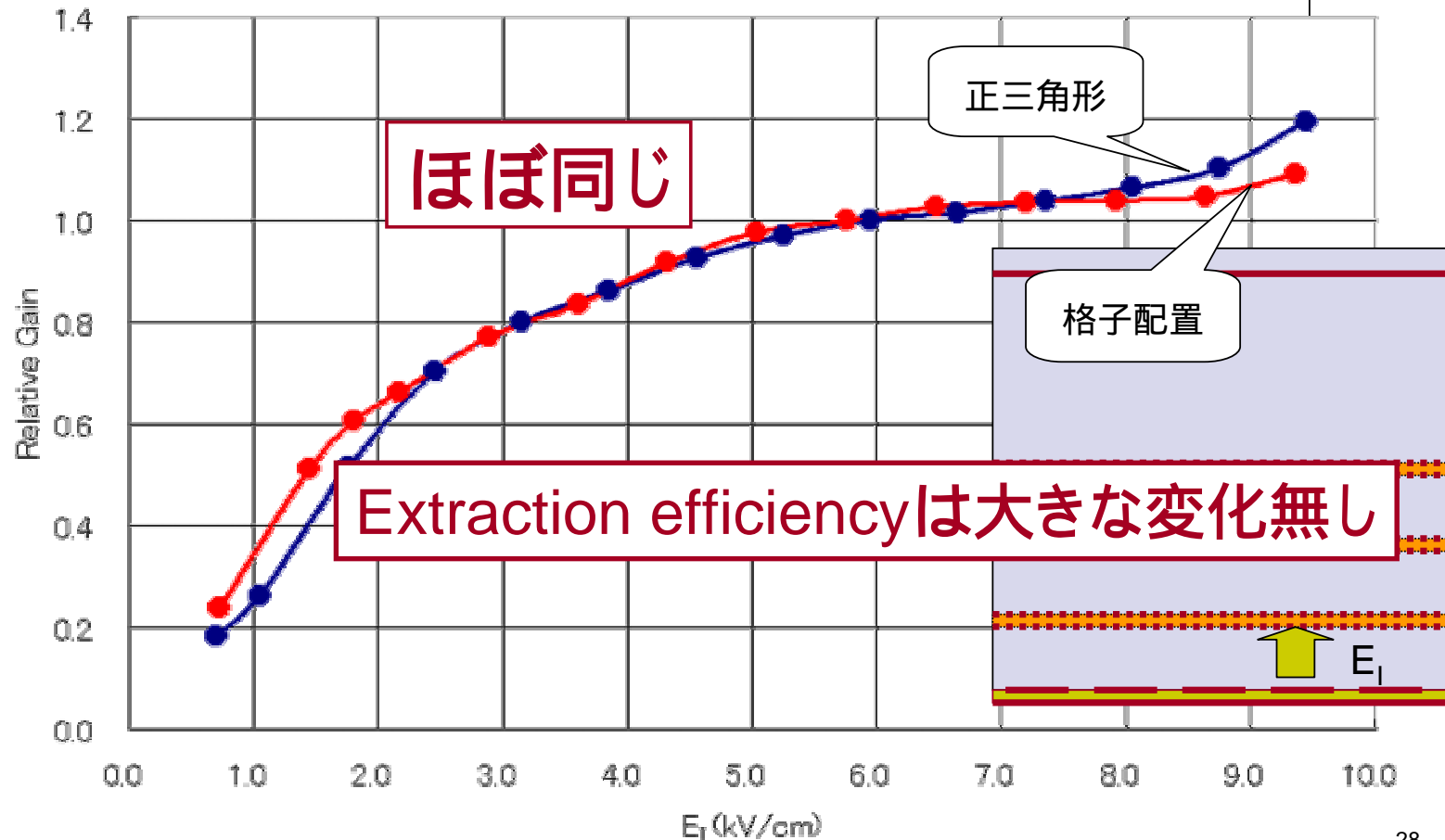


E_D dependence





E_I dependence (Ar-CO₂)



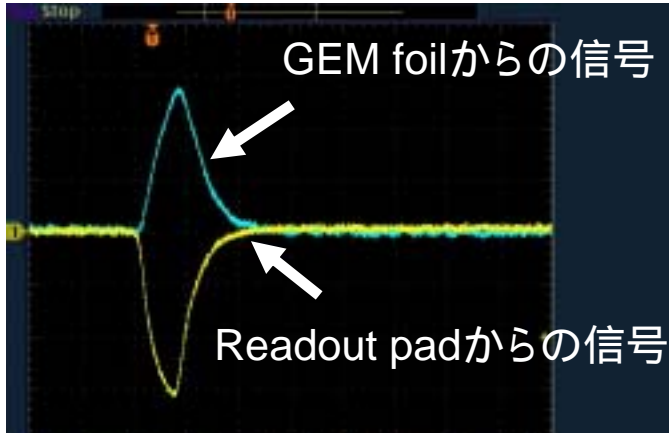


ここまでまとめ GEMのゲイン特性

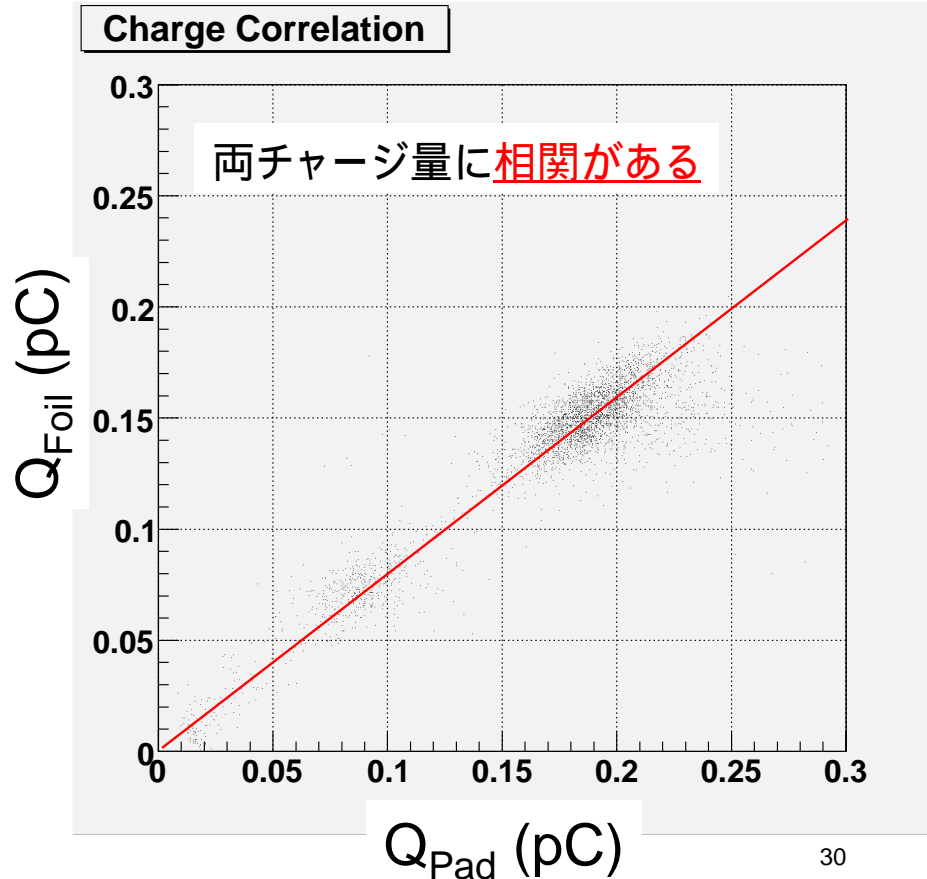
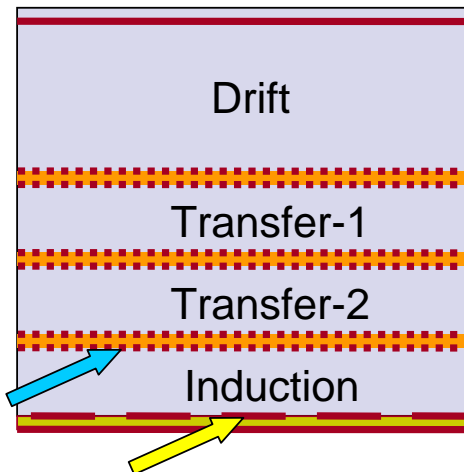
- GEM両面電極間の電圧に
 - 増幅率が敏感に変化する
 - 増幅度レンジが $10^2 \sim 10^5$
- Drift領域の電場が上昇すると
 - Collection efficiencyが減少
- Induction領域の電場が上昇すると
 - Extraction efficiencyが増加
- Gainは $V_{GEM} + \text{各領域の電場強度}$ でほぼ決まる



パッドからの信号と フォイルからの信号



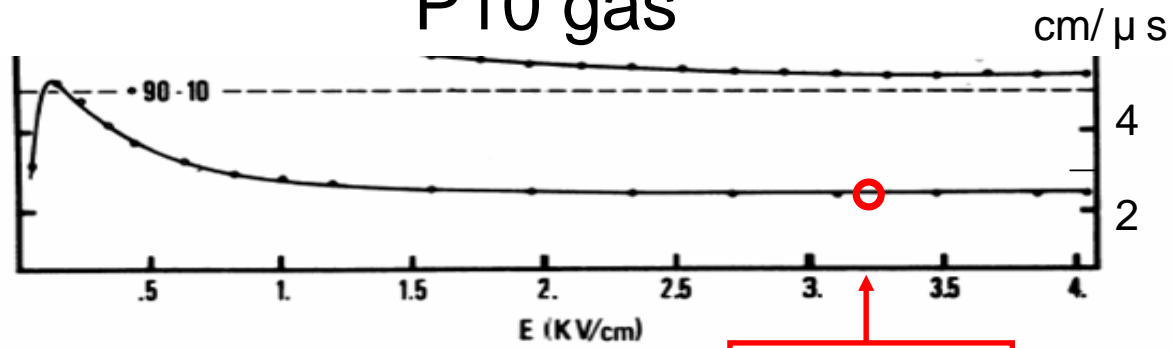
電荷量の相関はどうなっているのか





ドリフト時間と信号パルス幅

P10 gas



$$E_l = 3.2 \text{ kV/cm}$$

Drift velocity 2.5cm/ μ s (at 3.2kV/cm)

Induction gap = 1mmでPulse width = 40ns

1mmで40ns
2mmで80ns
4mmで160ns



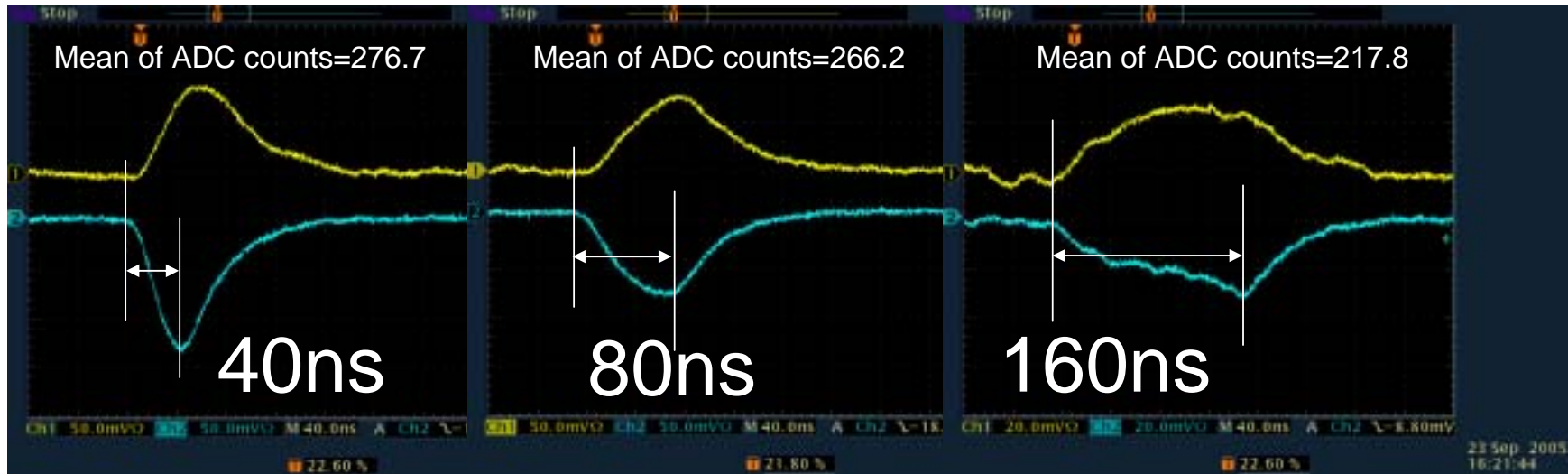


Induction gap長と信号

1 mm

2mm

4mm

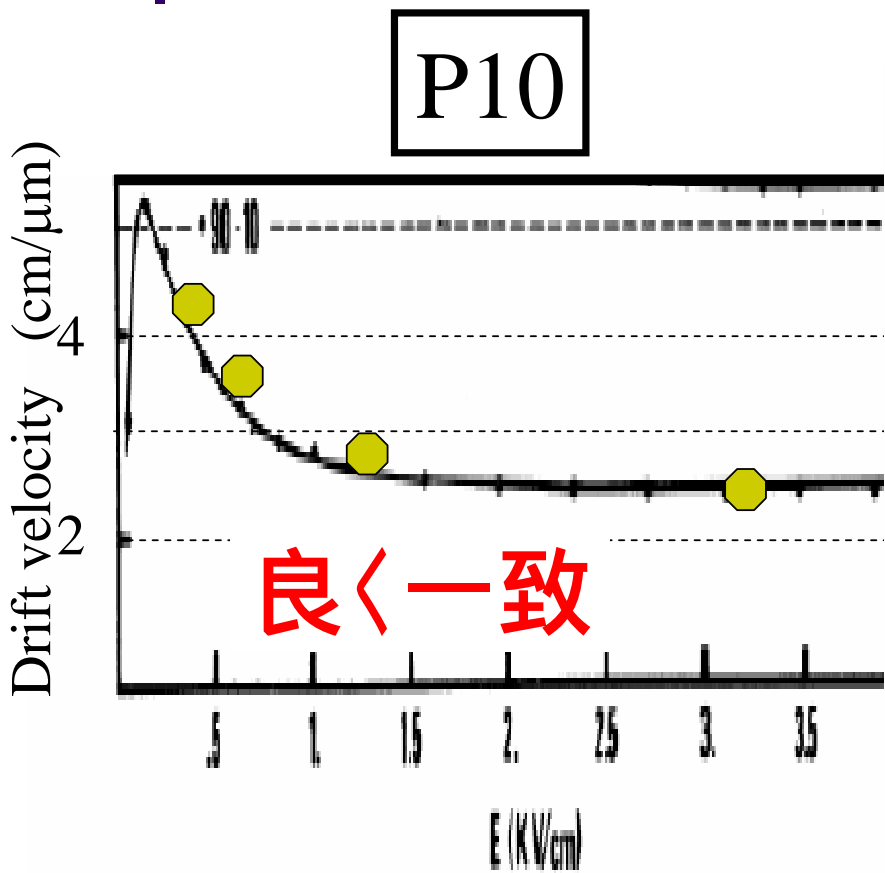


Drift velocity $2.5\text{cm}/\mu\text{s}$ (at 3.2kV/cm)

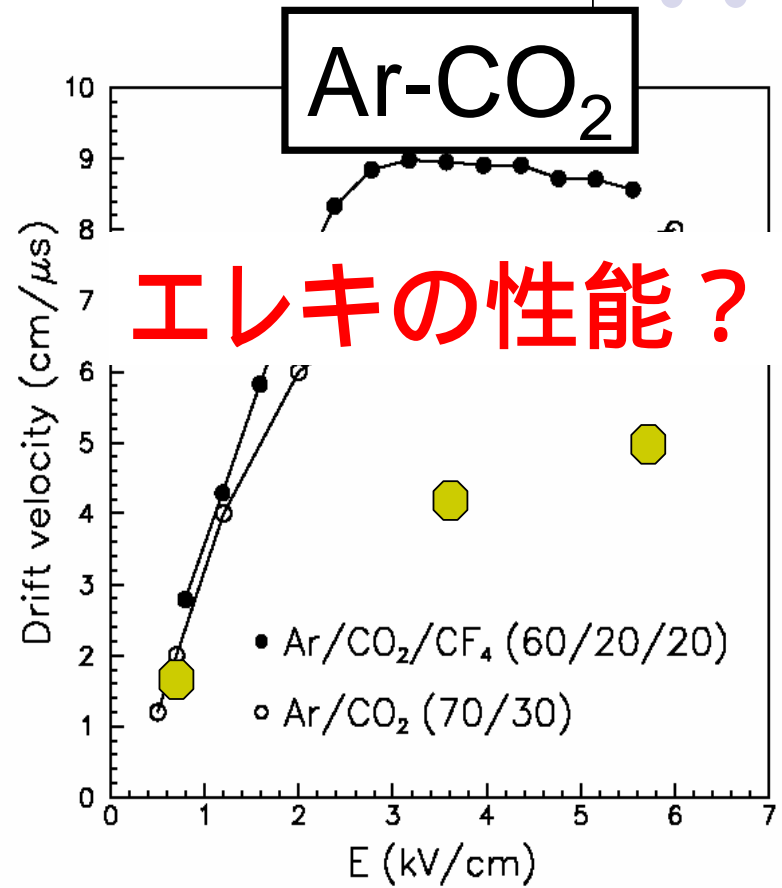
計算値と良く一致する



E_i を変化させて測定



○ 測定値





まとめ

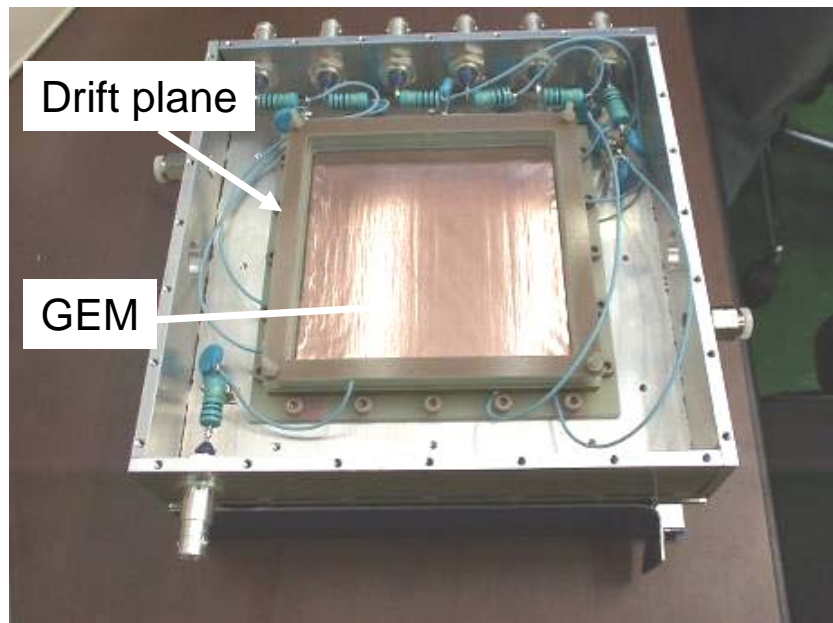
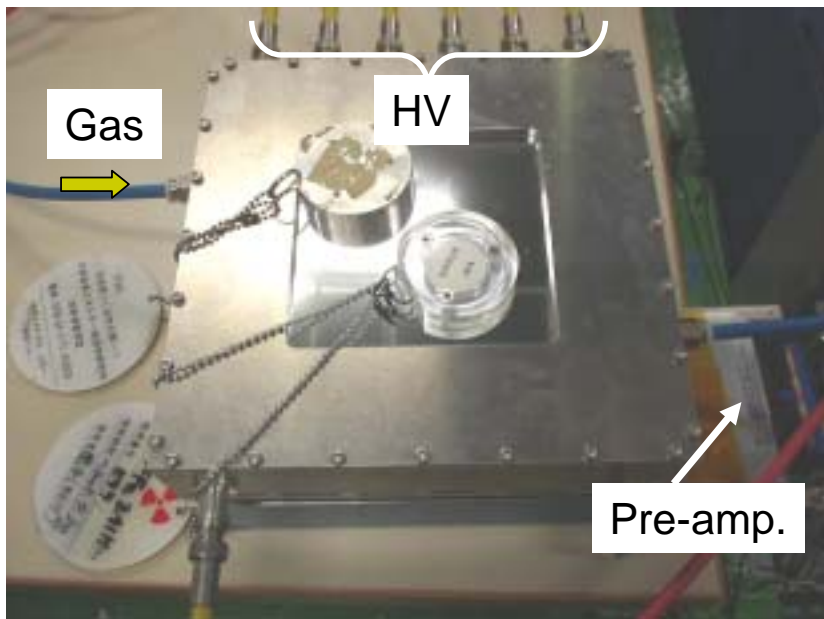
- GEMの基本特性を測定した。
- GEM foilからの信号読み出した。
- GEM foilと読み出しパッドからの信号は電荷相関があった
- ドリフト時間と信号パルス幅に関係があることを確認した。



ここから付録

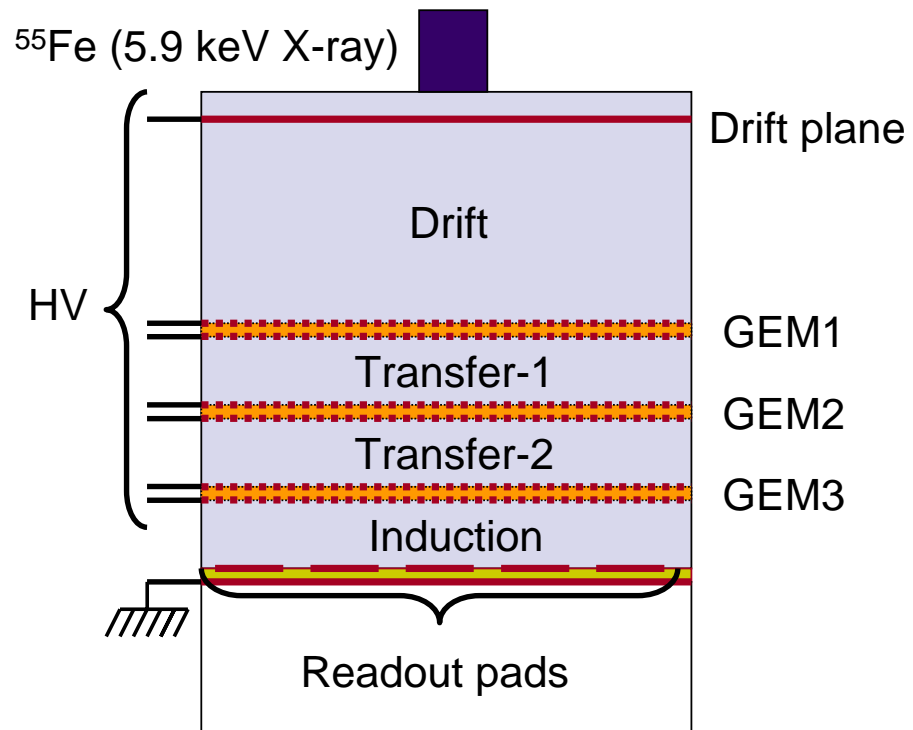
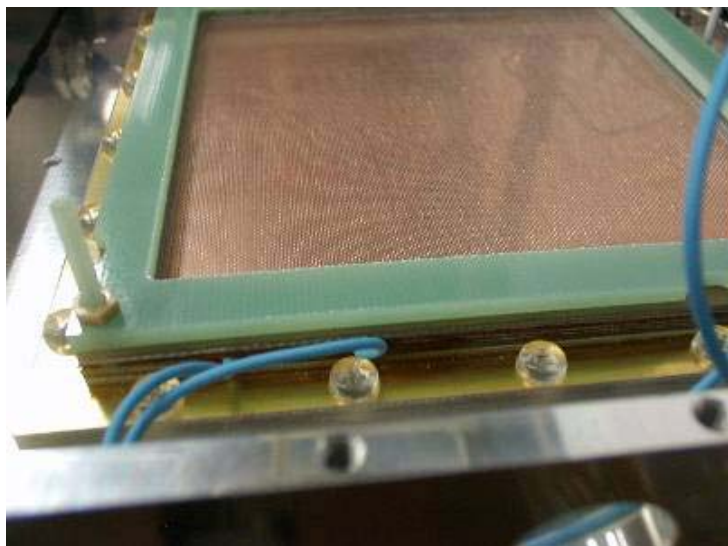


Test chamber





Test chamber



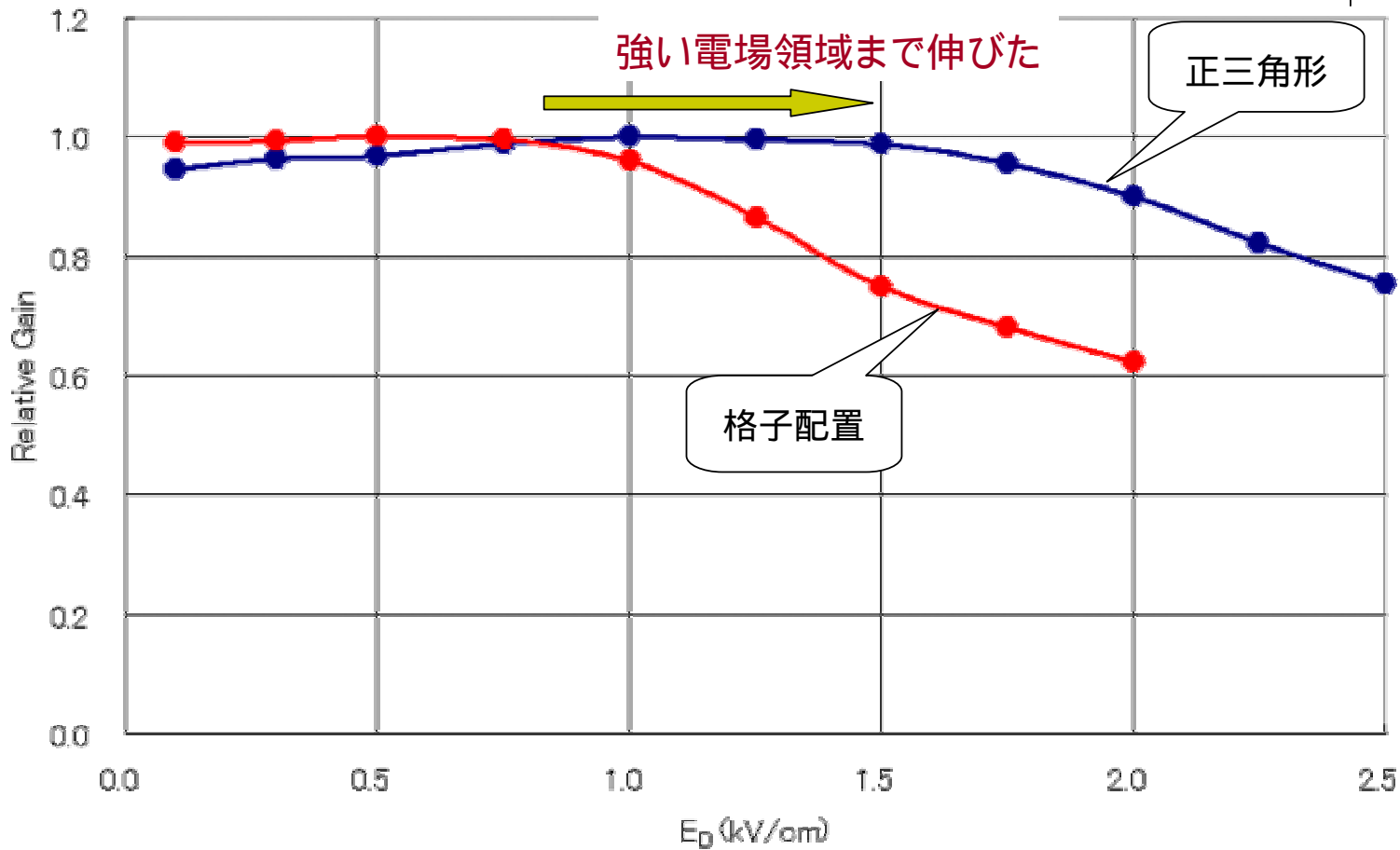
スペーサー(G10フレーム)により間隔を調整



格子配置、正三角形配置

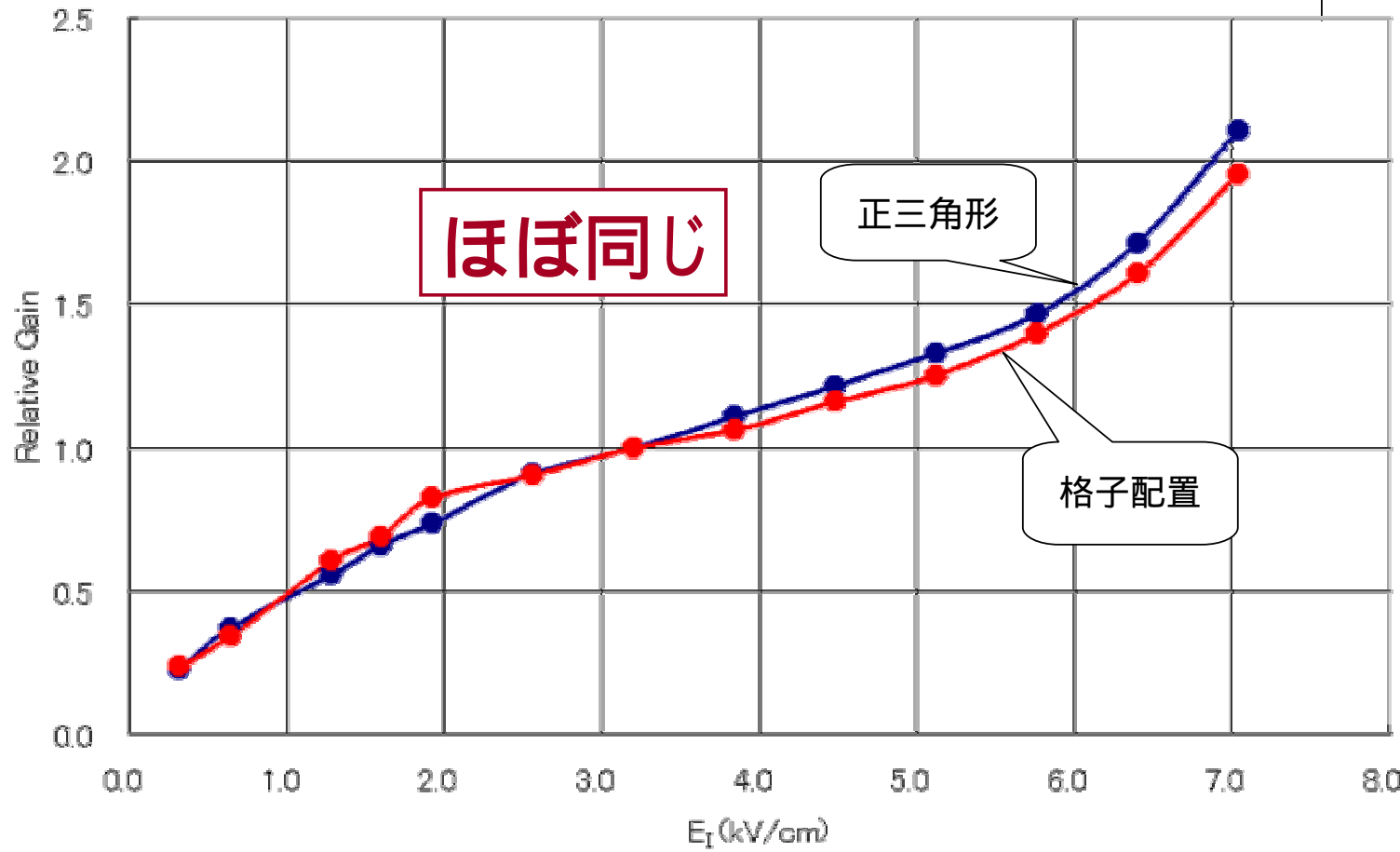


E_D dependence (P10)





E_t dependence (P10)

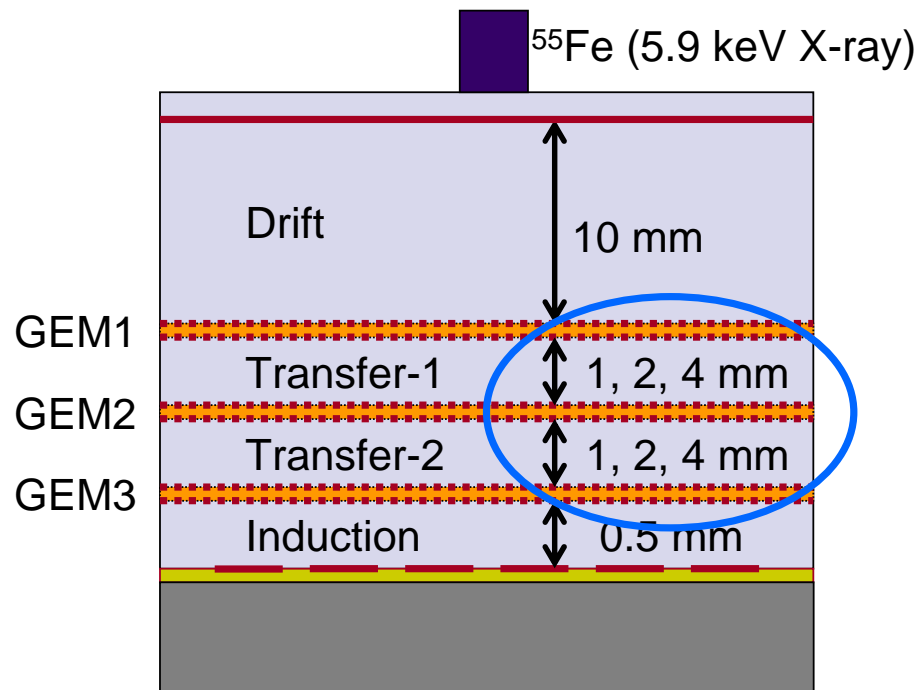




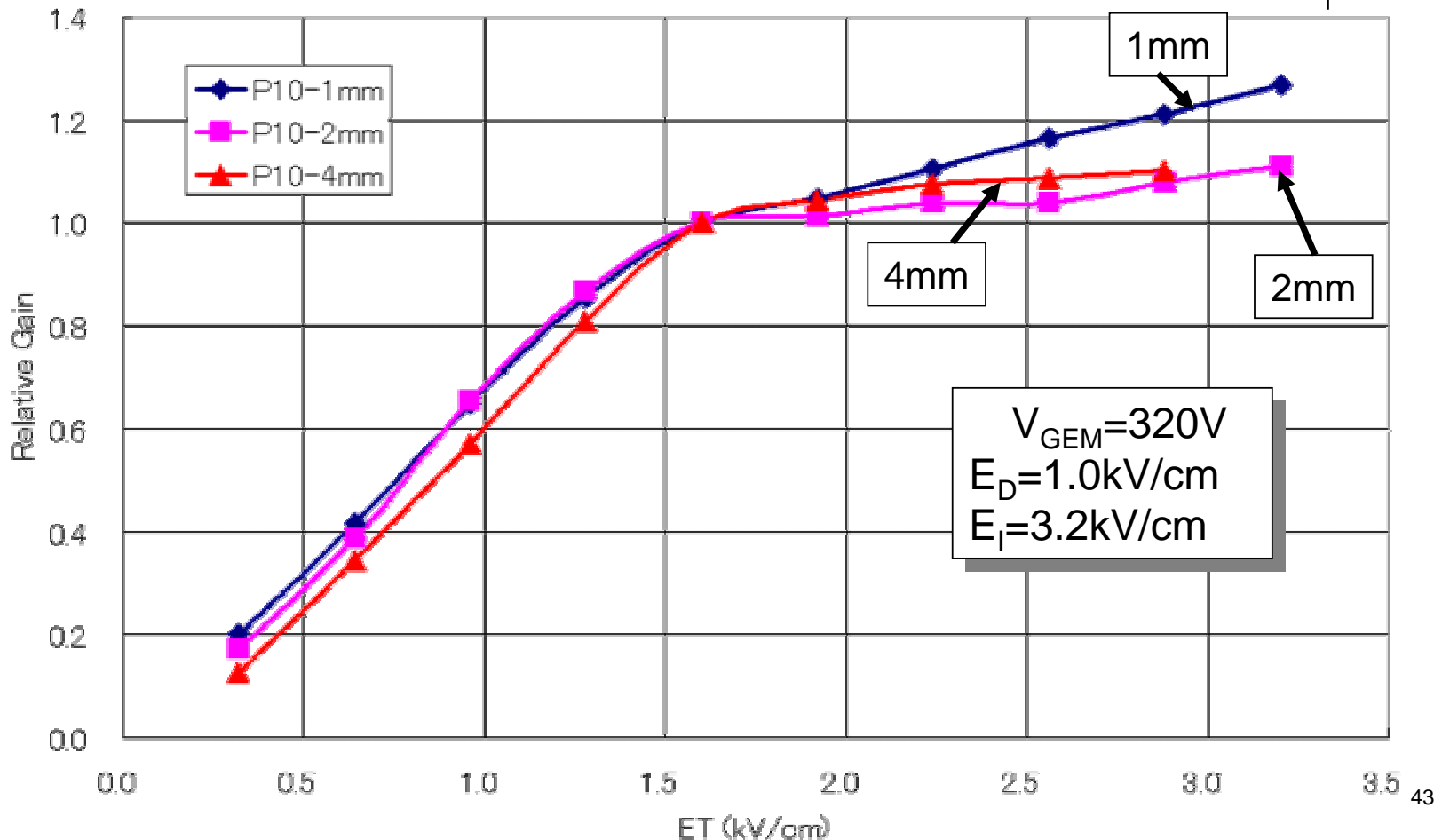
Transfer gap = 1, 2, 4 mm



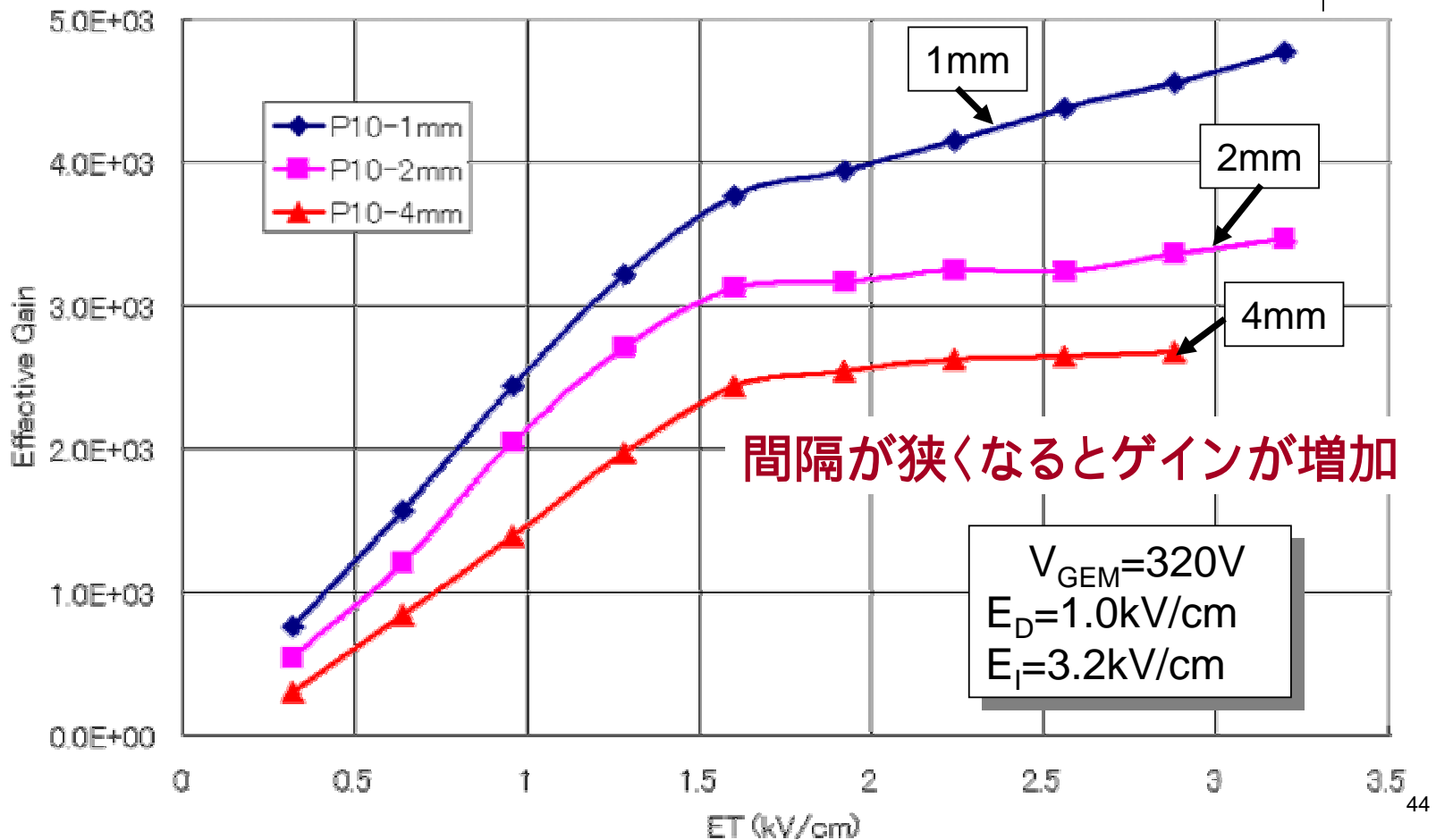
E_T dependence



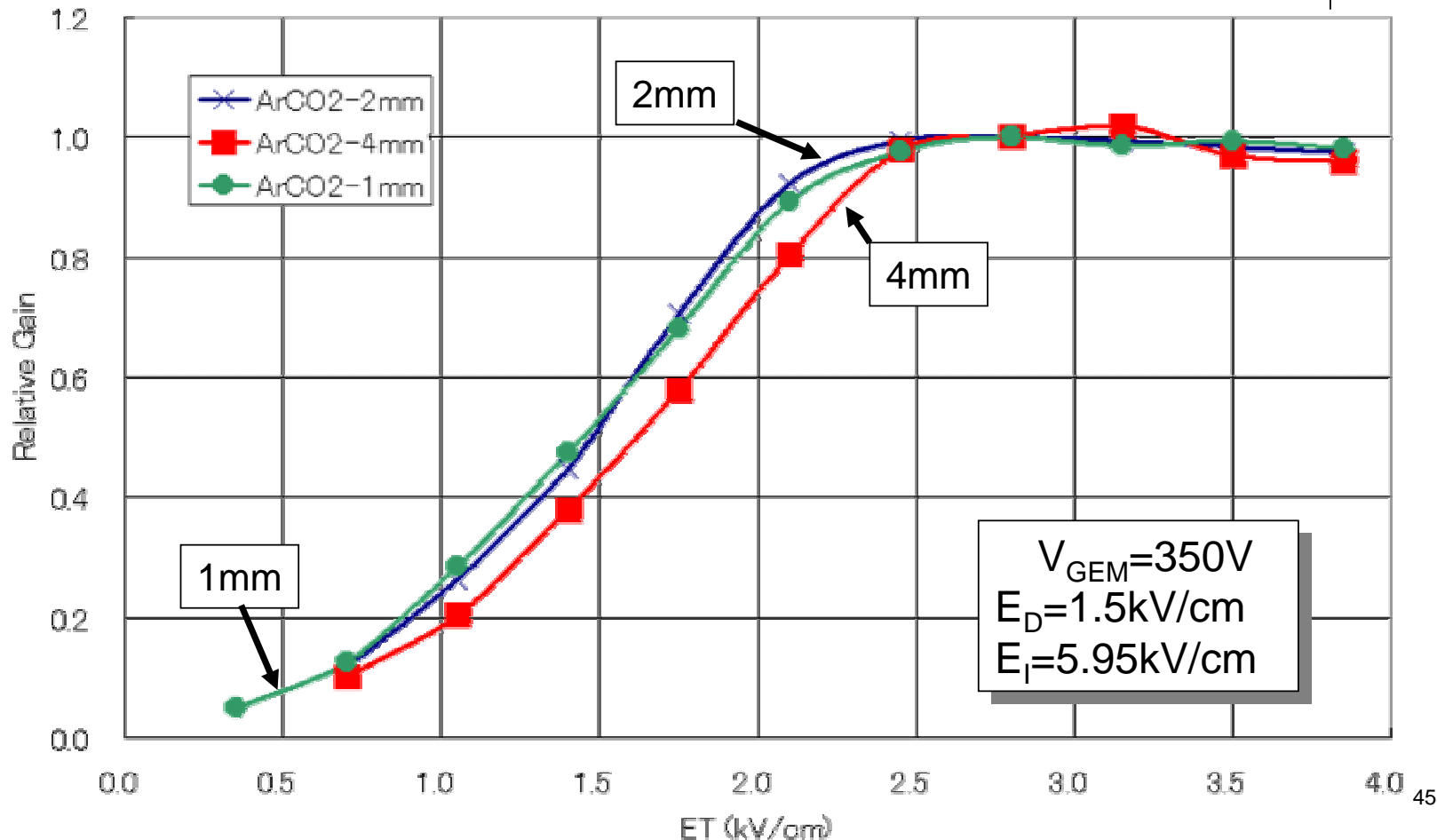
E_T dependence P10 gas, Relative Gain



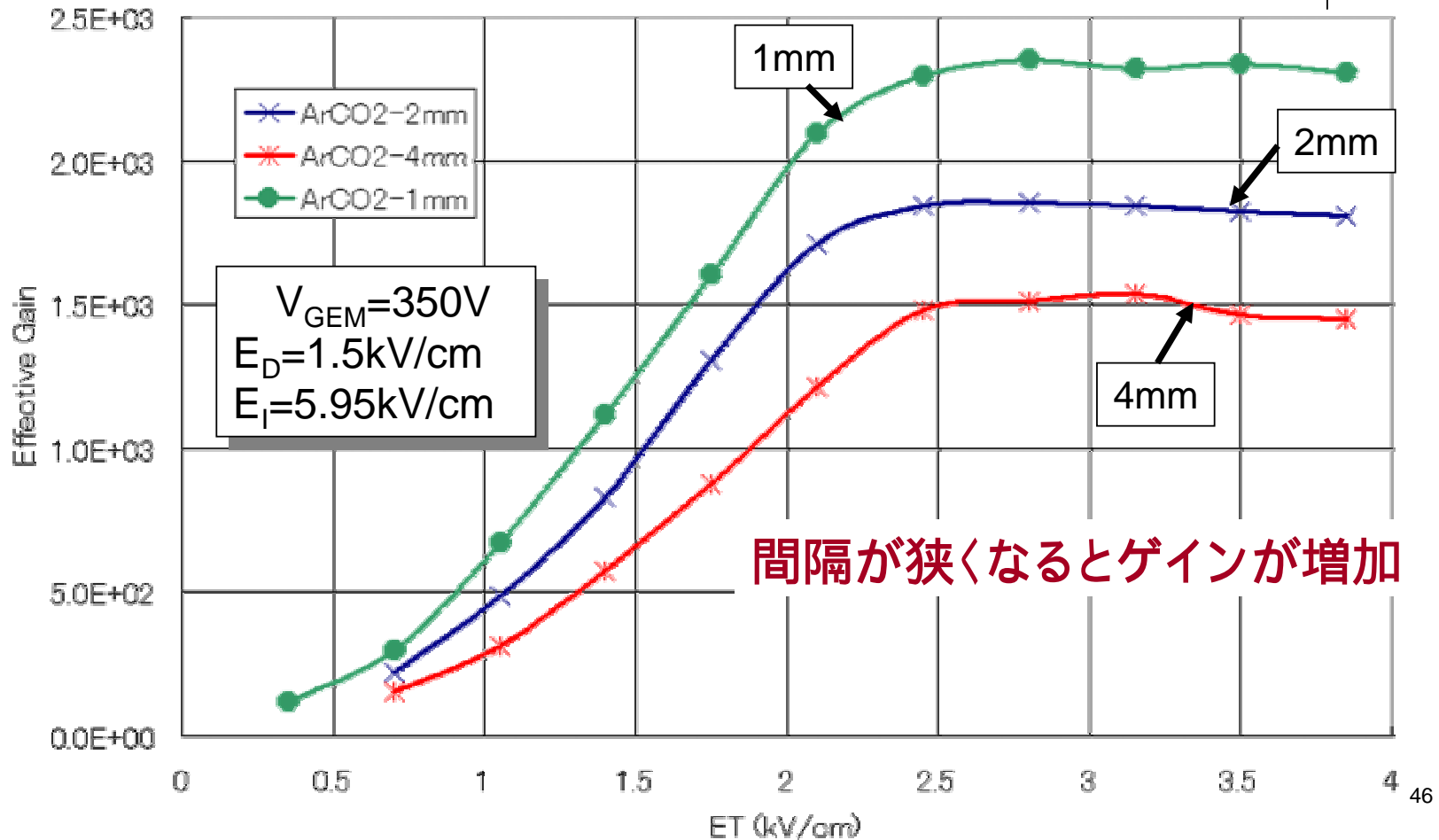
E_T dependence P10 gas, Effective Gain



E_T dependence Ar-CO₂ gas, Relative Gain

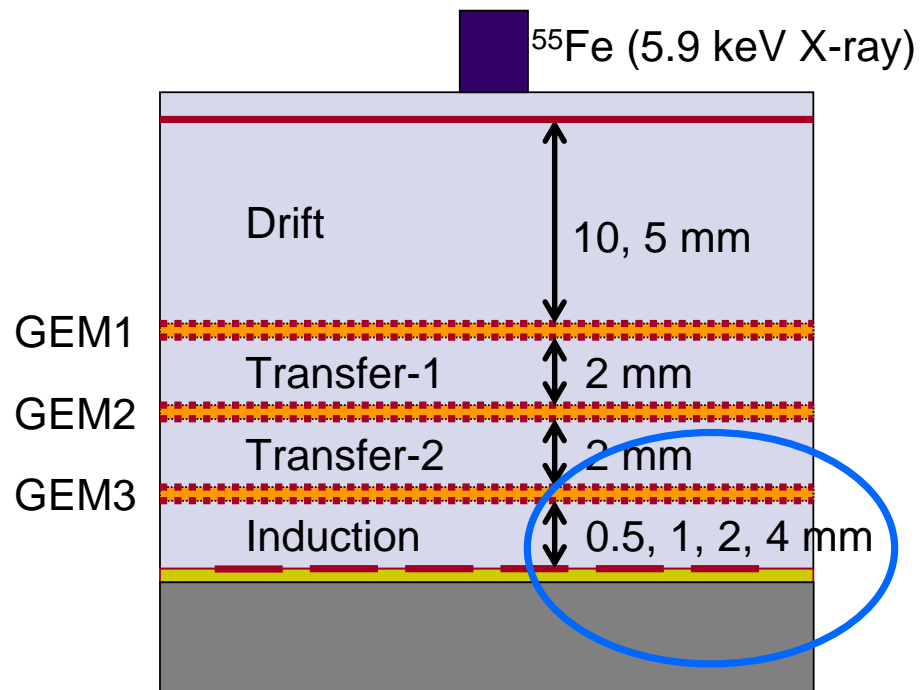


E_T dependence Ar-CO₂ gas, Effective Gain

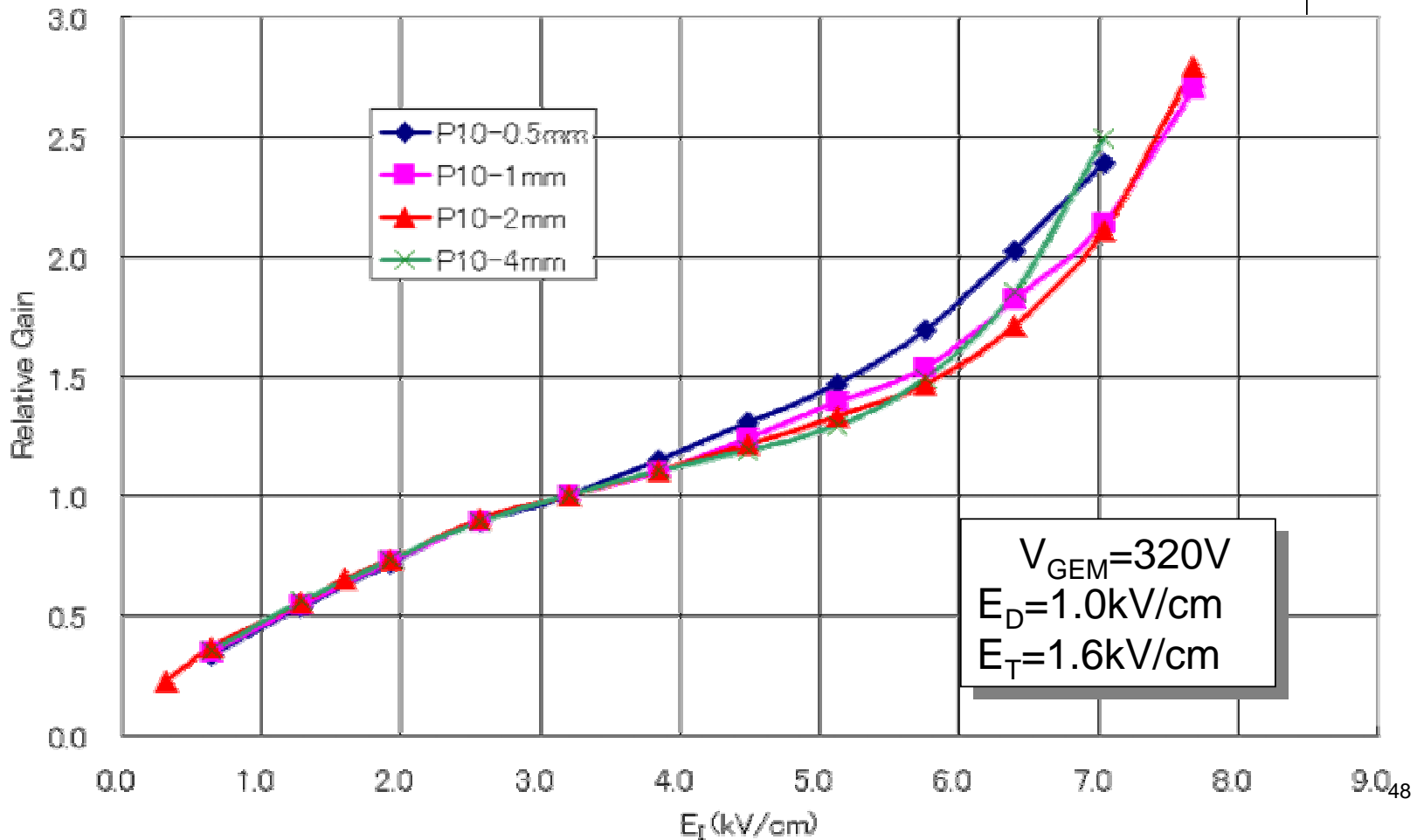




E_i dependence

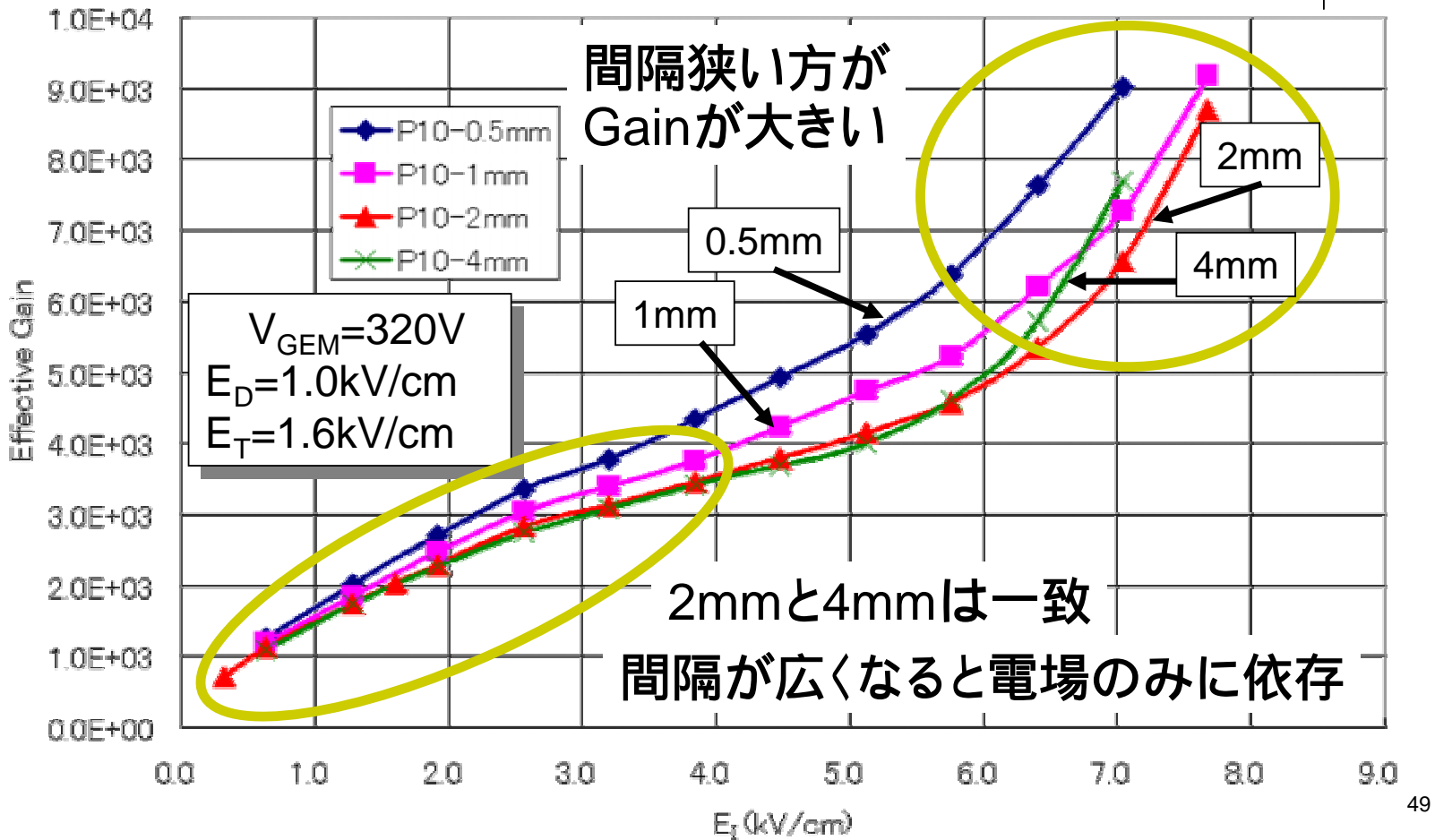


E_I dependence P10 gas, Relative Gain

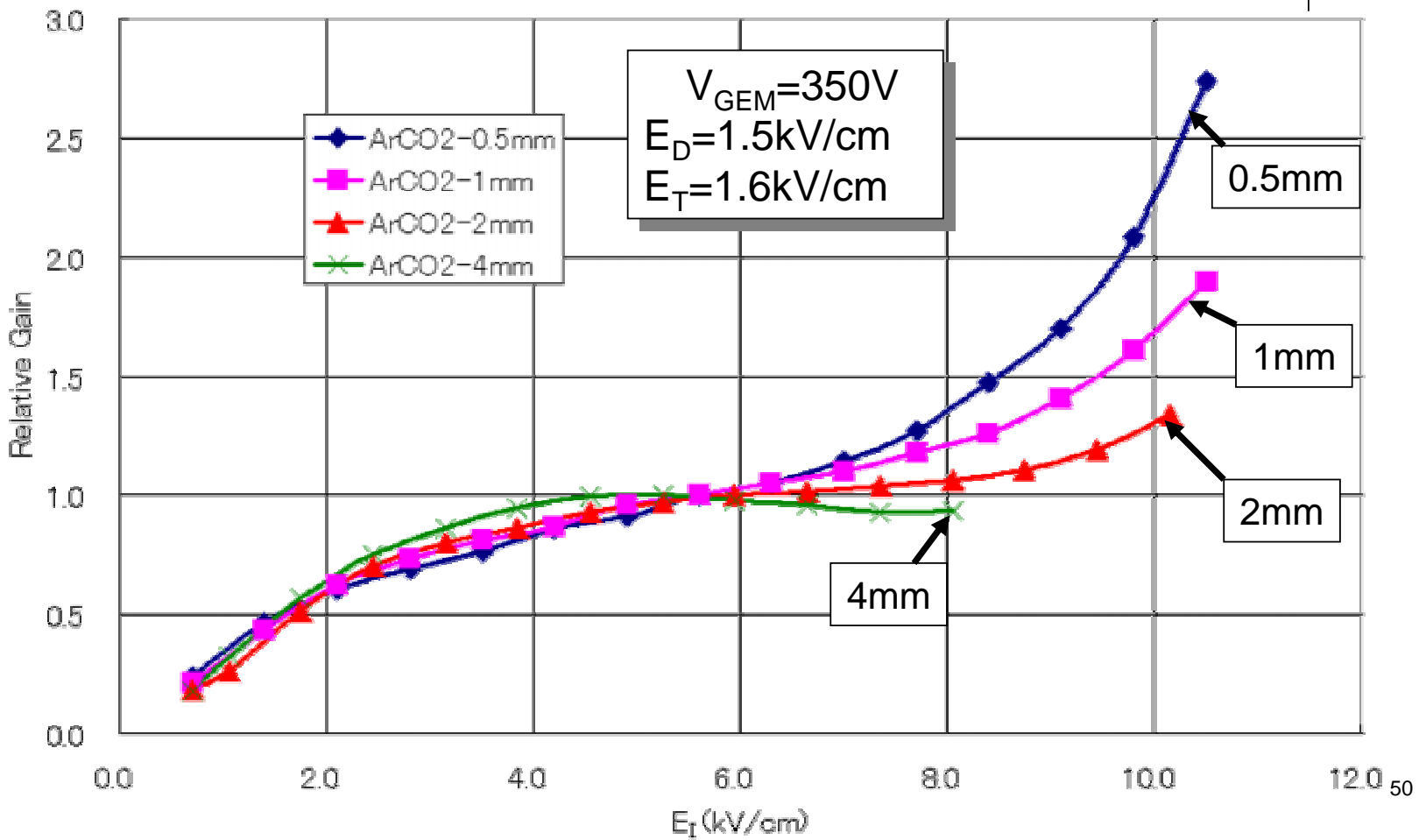




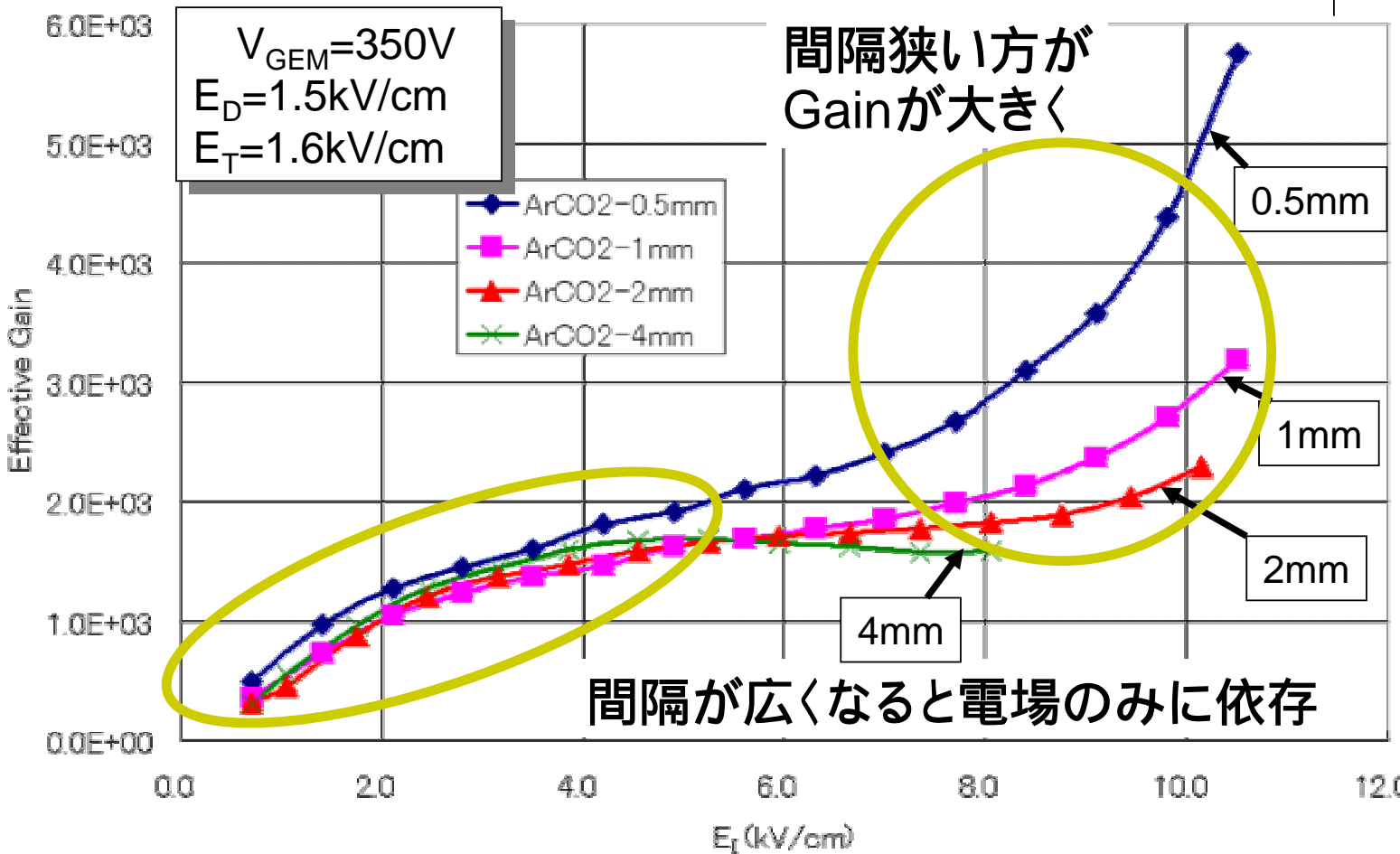
E_i dependence P10 gas, Effective Gain



E_I dependence Ar-CO₂ gas, Relative Gain



E_l dependence Ar-CO₂ gas, Effective Gain

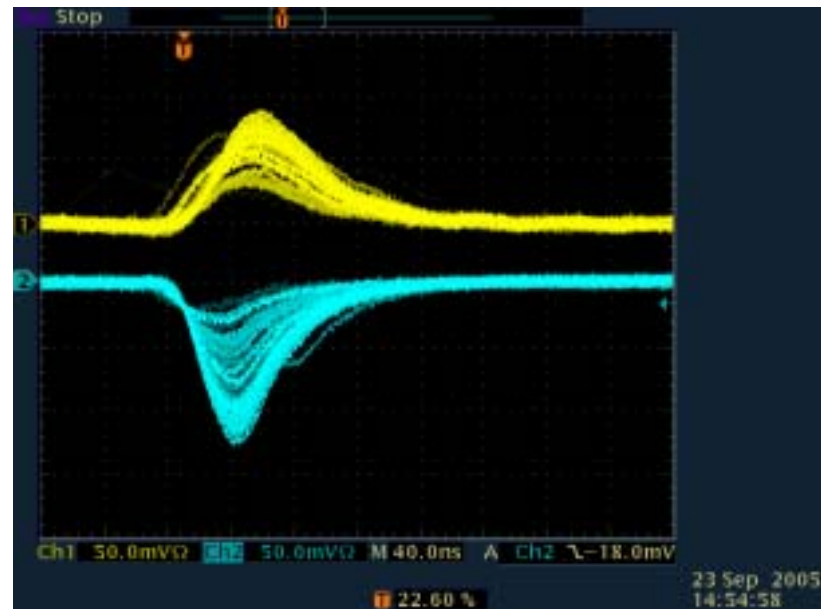
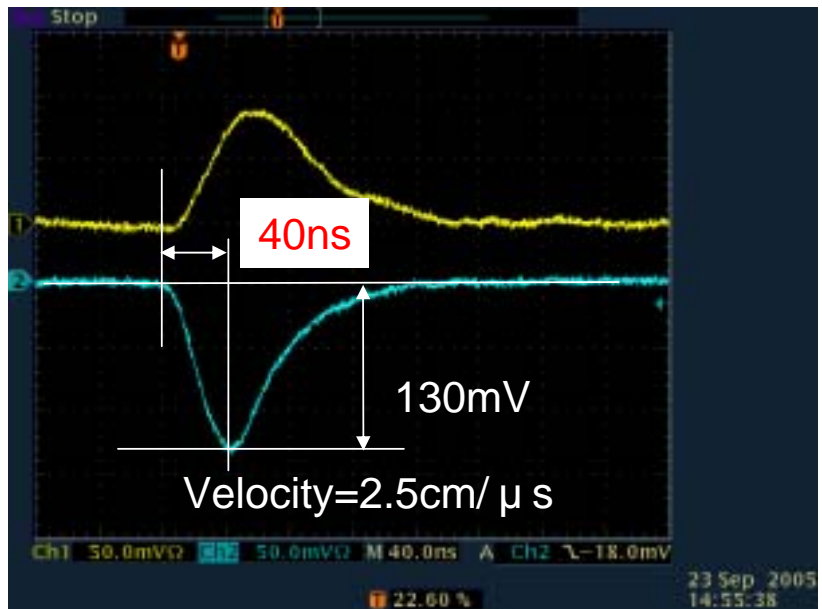




信号パルス幅と距離 波形



Induction gapと信号



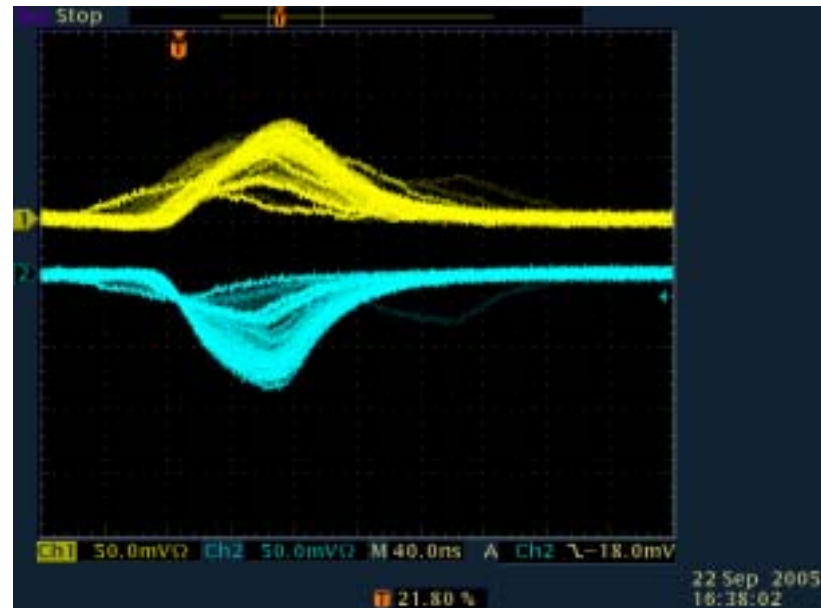
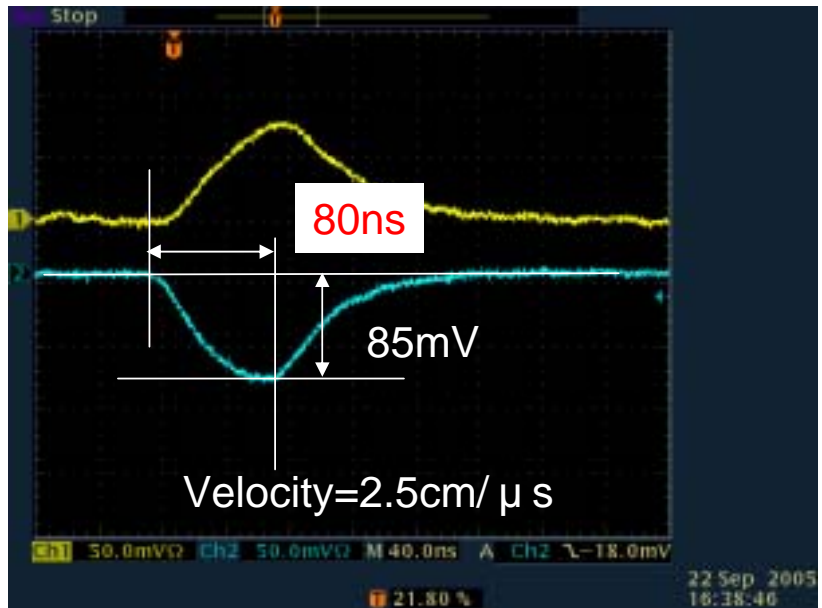
予想値 = 40ns

Mean of ADC counts=276.7

$E_I=3.2\text{kV/cm}$
 $E_D=0.5\text{kV/cm}$
 $V_{GEM}=320\text{V}$
 $E_T=1.6\text{kV/cm}$



Induction gap = 2mm
 $E_I = 3.2\text{kV}$



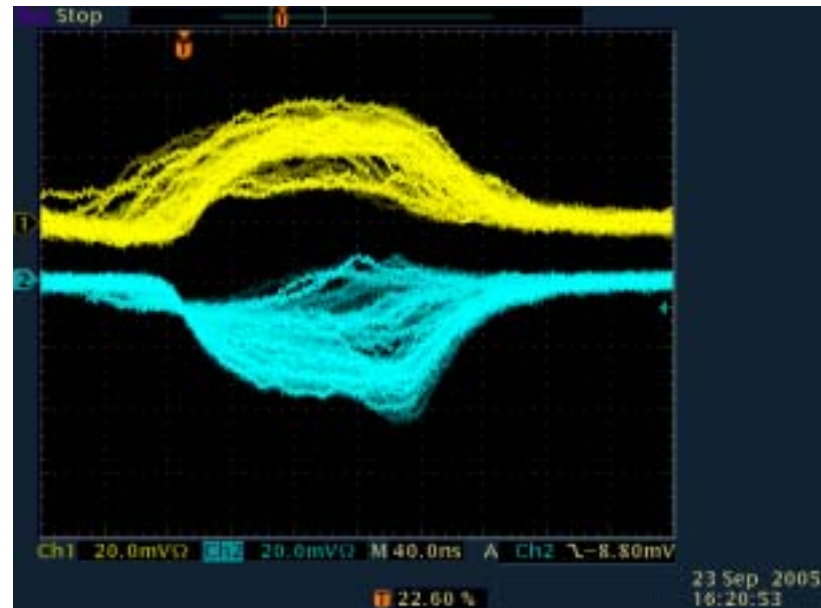
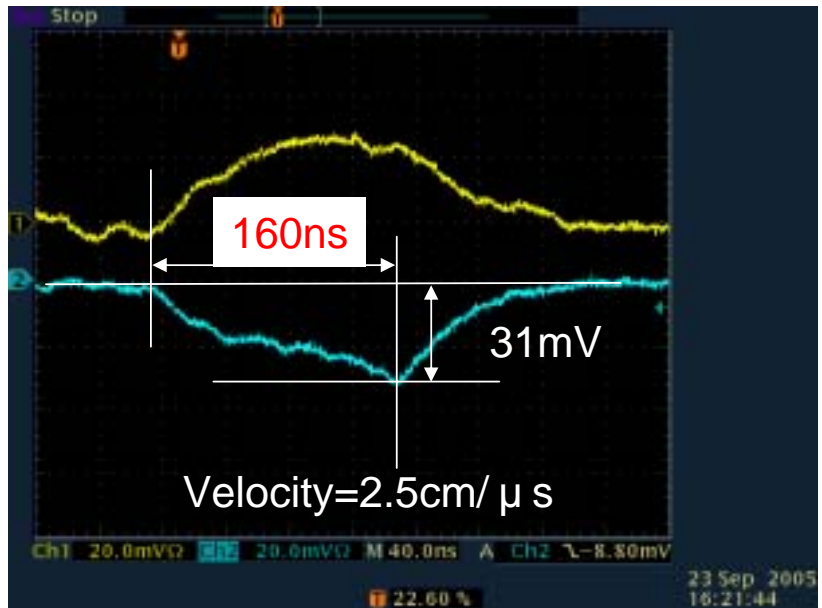
予想値 = 80ns

Mean of ADC counts=266.2

$E_I = 3.2\text{kV}/\text{cm}$
 $E_D = 0.5\text{kV}/\text{cm}$
 $V_{GEM} = 320\text{V}$
 $E_T = 1.6\text{kV}/\text{cm}$



Induction gap = 4mm
 $E_I = 3.2\text{kV}$



予想値 = 160ns

Mean of ADC counts=217.8

$E_I = 3.2\text{kV}/\text{cm}$
 $E_D = 0.5\text{kV}/\text{cm}$
 $V_{GEM} = 320\text{V}$
 $E_T = 1.6\text{kV}/\text{cm}$

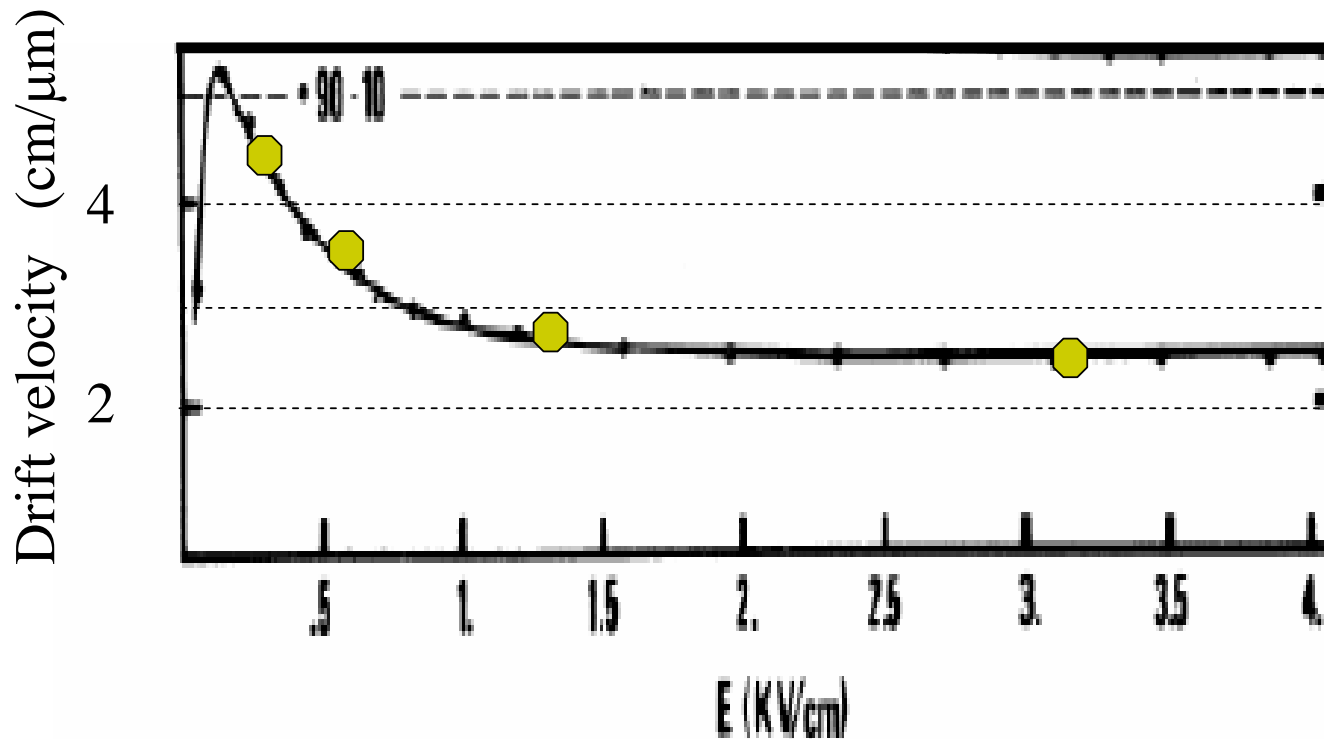


信号パルス幅と電場 波形



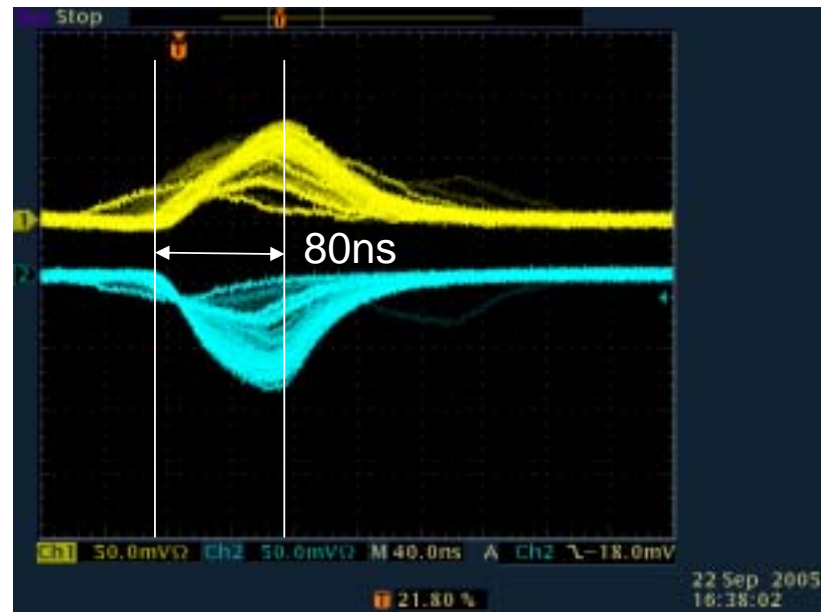
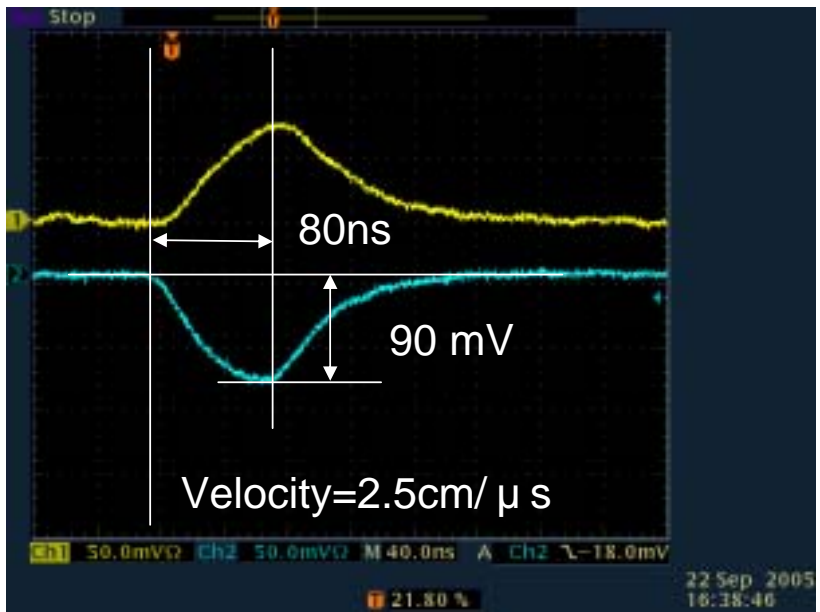
E_I を変化させて測定(P10 gas)

Ar-CH₄(90/10)



E_I を変化させて波形測定:P10 gas

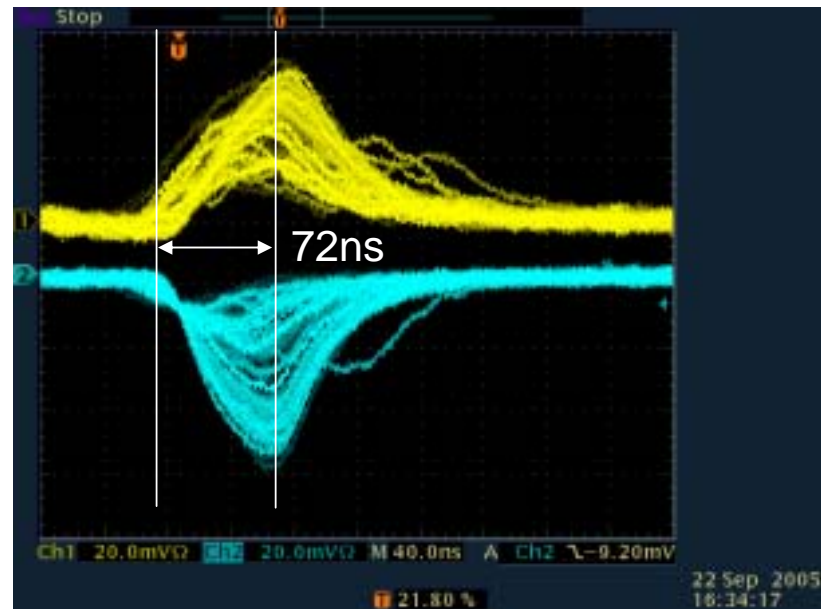
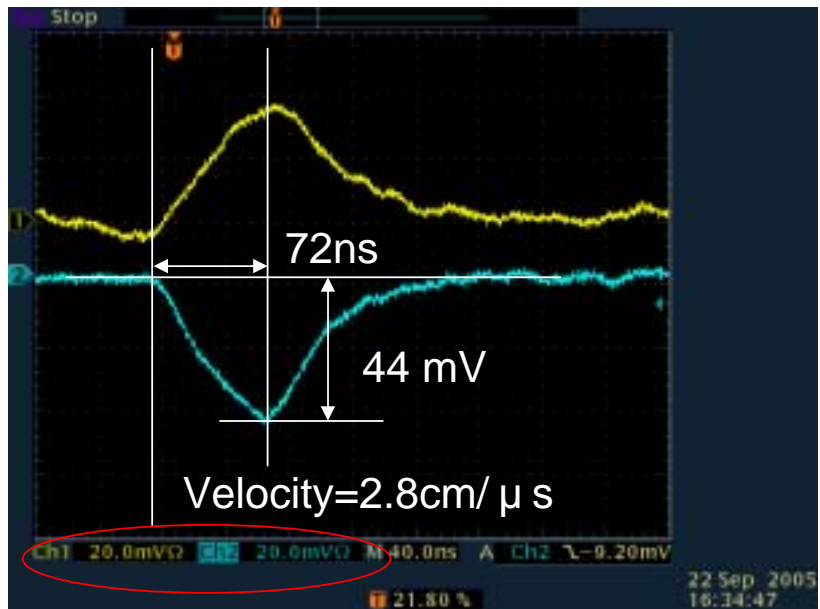
$E_I = 3.2\text{kV}$, $D_I = 2\text{mm}$



P10
 $V_{GEM}=320\text{V}$
 $E_D=0.5\text{kV/cm}$
 $E_T=1.6\text{kV/cm}$



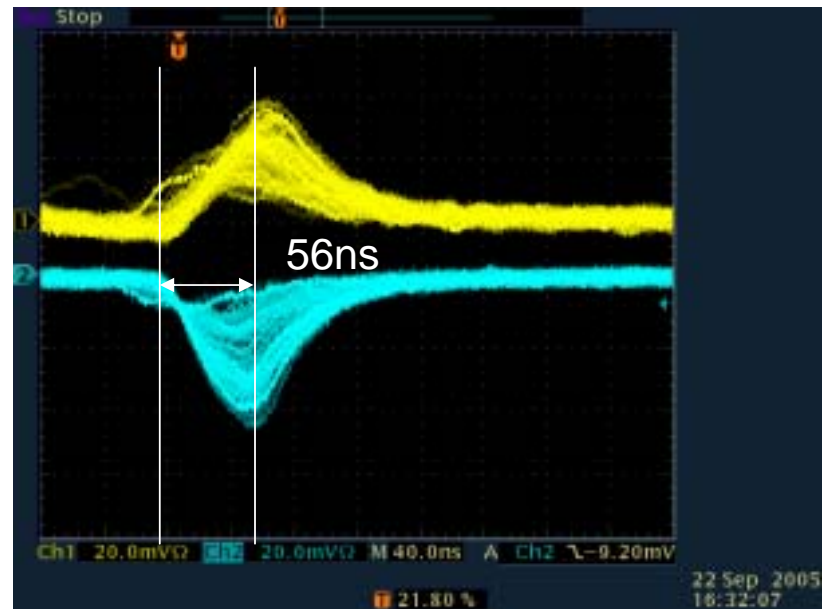
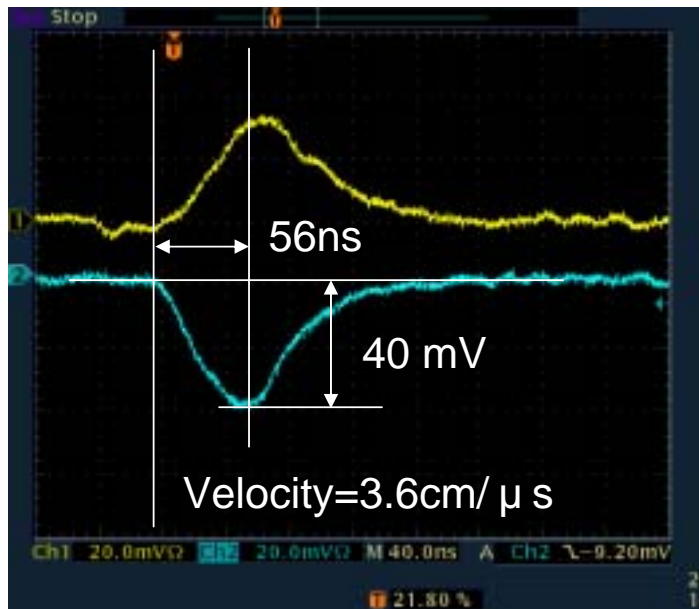
$E_I = 1.28\text{kV}$, $D_I=2\text{mm}$



P10
 $V_{GEM}=320\text{V}$
 $E_D=0.5\text{kV/cm}$
 $E_T=1.6\text{kV/cm}$



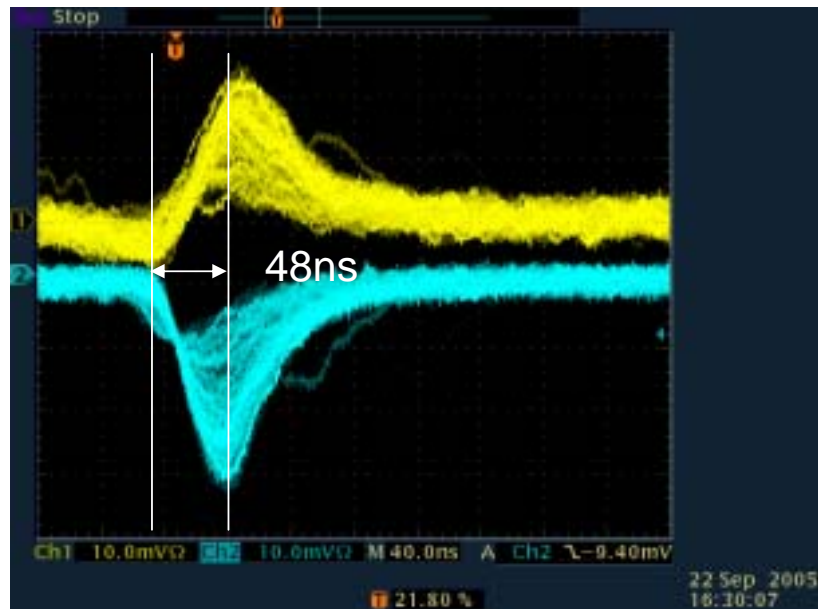
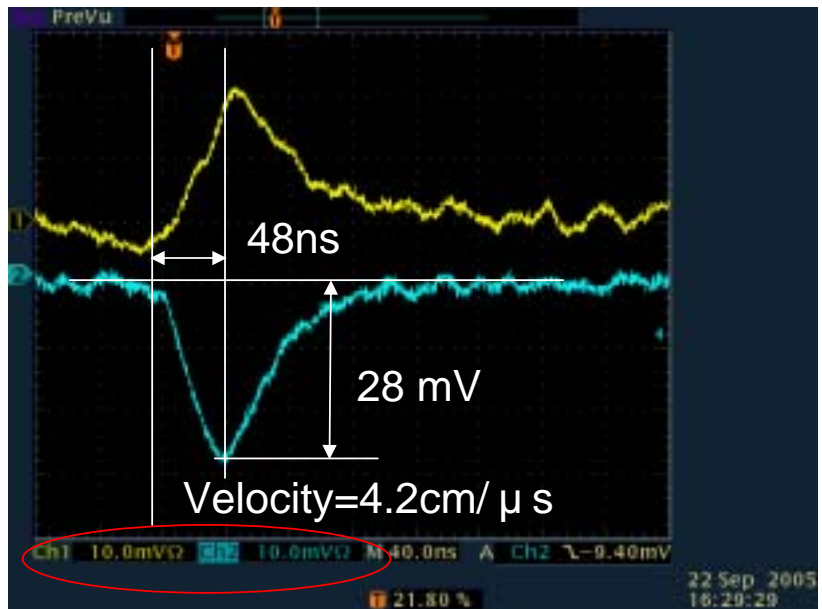
$E_I = 0.64\text{kV}$, $D_I=2\text{mm}$



P10
 $V_{GEM}=320\text{V}$
 $E_D=0.5\text{kV/cm}$
 $E_T=1.6\text{kV/cm}$

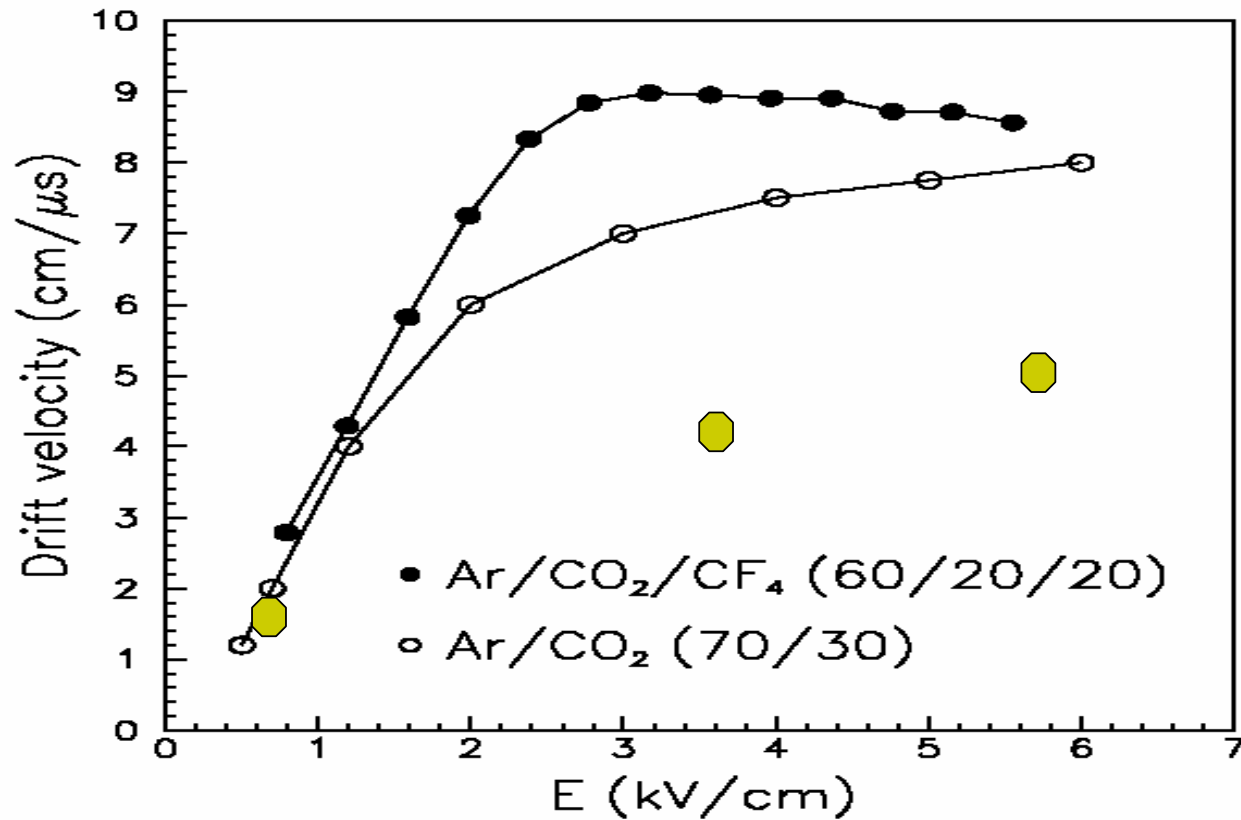


$E_I = 0.32\text{kV}$, $D_I = 2\text{mm}$



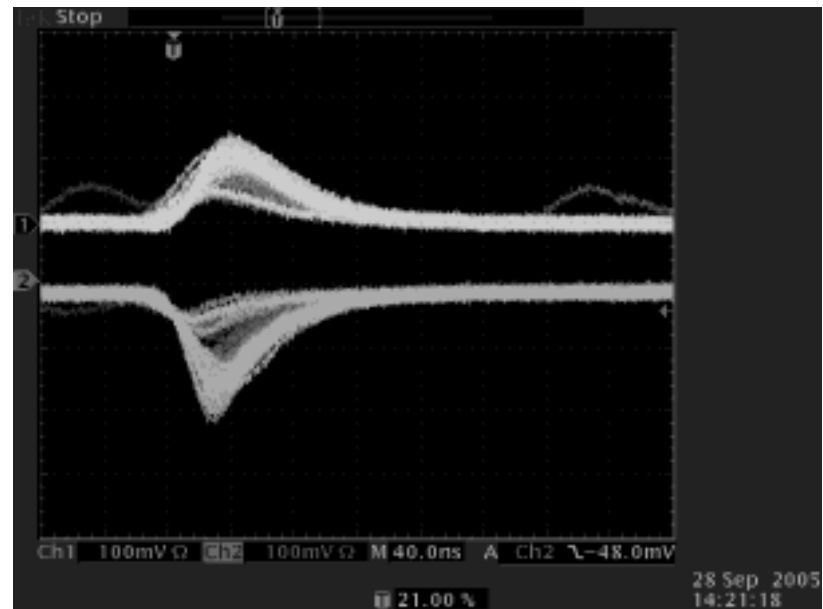
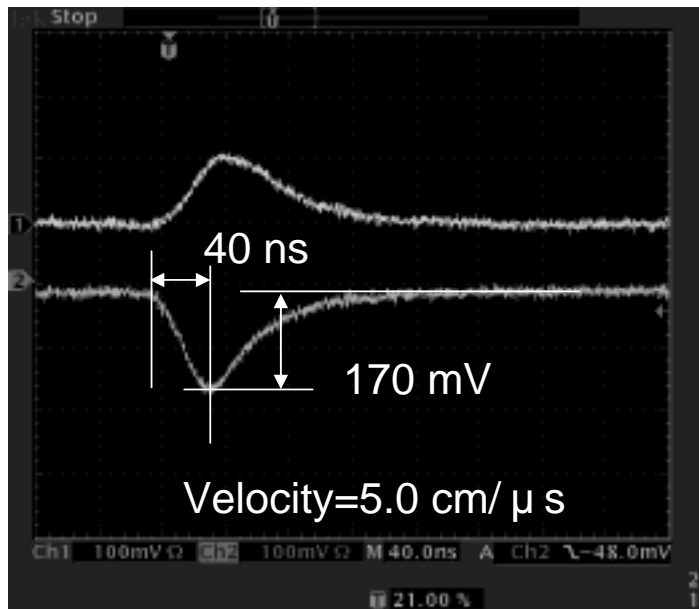
P10
 $V_{GEM} = 320\text{V}$
 $E_D = 0.5\text{kV/cm}$
 $E_T = 1.6\text{kV/cm}$

E_I を変化させて測定 (Ar-CO₂ gas)





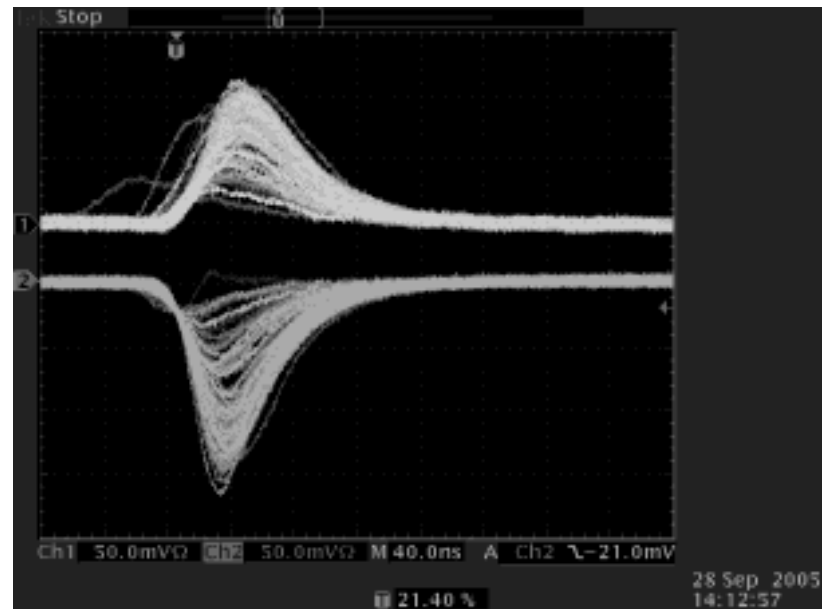
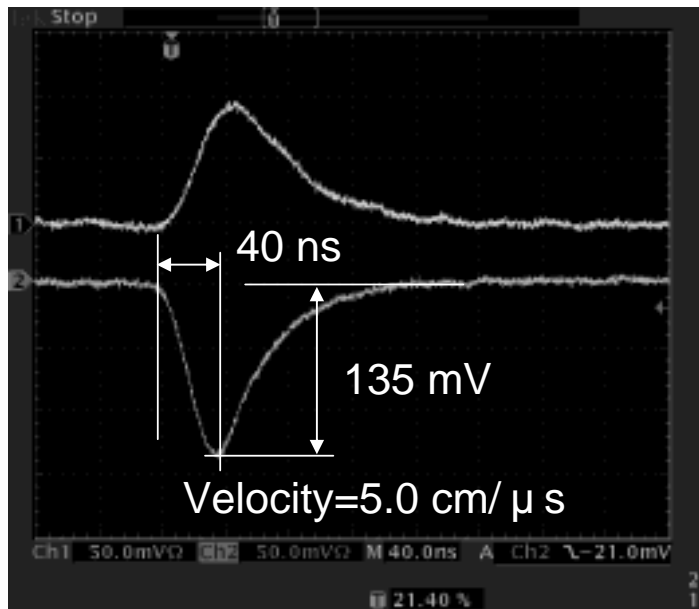
$E_I=8.64\text{kV/cm}$, $D_I=2\text{mm}$



Ar-CO₂ (70/30)
 $V_{GEM}=360\text{V}$
 $E_D=0.5\text{kV/cm}$
 $E_T=1.8\text{kV/cm}$



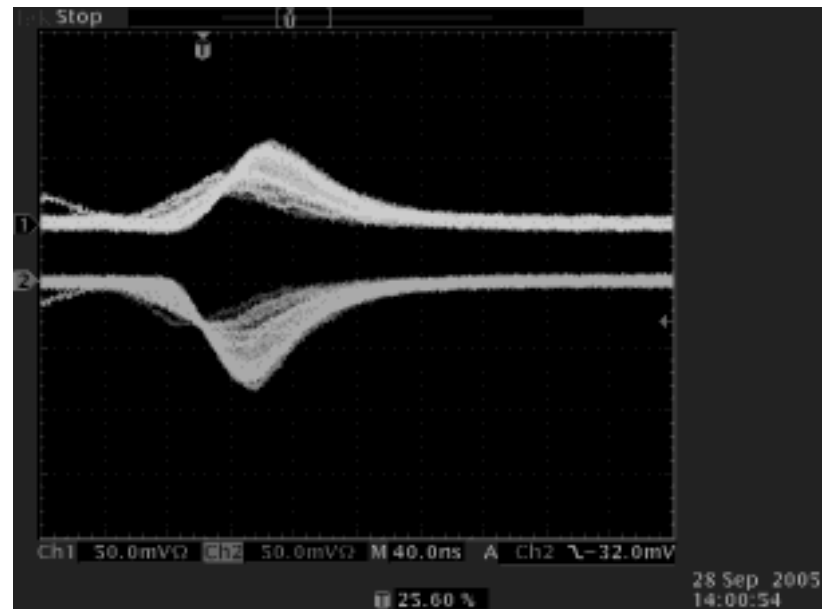
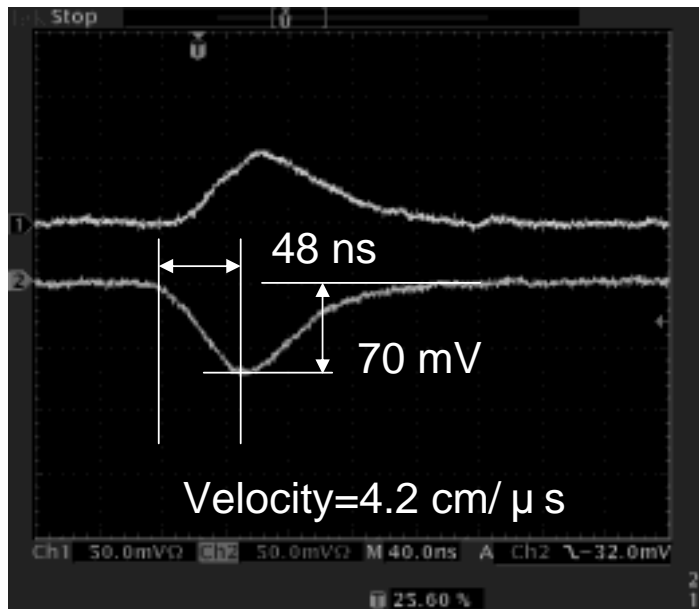
$E_I=5.76\text{kV/cm}$, $D_I=2\text{mm}$



Ar-CO₂ (70/30)
 $V_{GEM}=360\text{V}$
 $E_D=0.5\text{kV/cm}$
 $E_T=1.8\text{kV/cm}$



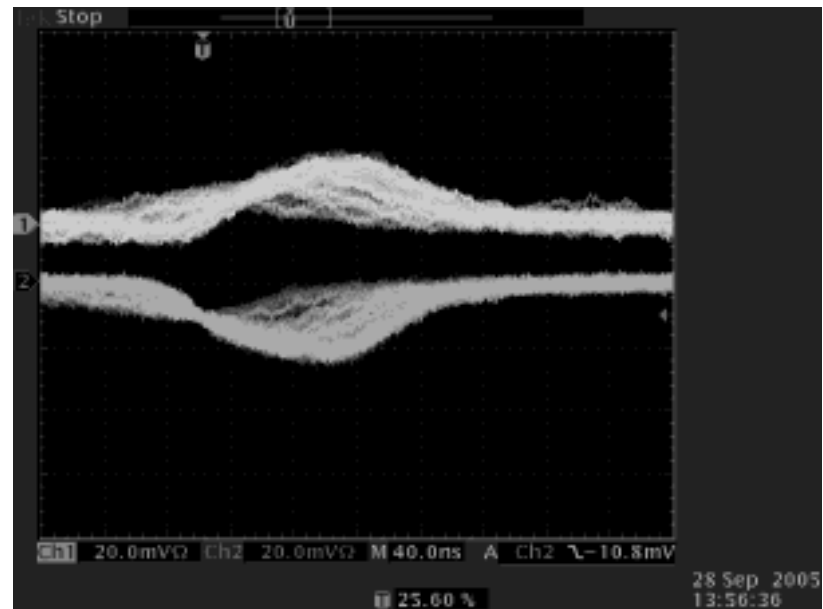
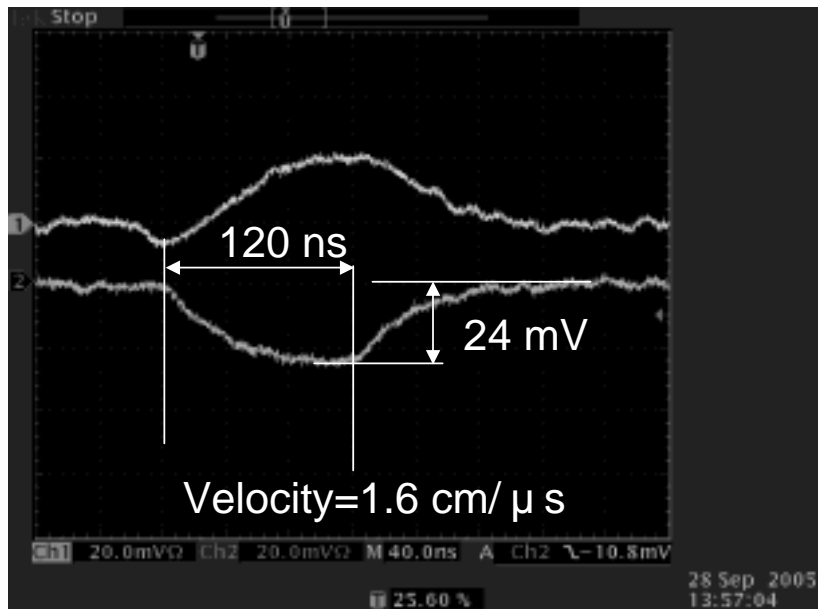
$E_I=3.6\text{kVcm}$, $D_I=2\text{mm}$



Ar-CO₂ (70/30)
 $V_{GEM}=360\text{V}$
 $E_D=0.5\text{kV/cm}$
 $E_T=1.8\text{kV/cm}$



$E_I=0.72\text{kVcm}$, $D_I=2\text{mm}$



Ar-CO₂ (70/30)
 $V_{GEM}=360\text{V}$
 $E_D=0.5\text{kV/cm}$
 $E_T=1.8\text{kV/cm}$